

Anexa 5 la Procedura de înscriere on-line la examenele de finalizare a studiilor

PROIECT DE DIPLOMĂ

Îndrumător proiect/Coordonator științific,
Conf. Dr. Ing. Răzvan Constantin ȘOLEA

Absolvent,
Andrei-Petrișor LĂBUȘ

Galați
Anul 2024

PROGRAMUL DE STUDII: Ingineria Sistemelor
SPECIALIZAREA: Automatică și Informatică Aplicată

Realizarea și implementarea unui algoritm pentru controlul unei drone aeriene

Îndrumător proiect/Coordonator științific,
Conf. Dr. Ing. Răzvan Constantin ȘOLEA

Absolvent,
Andrei-Petrișor LĂBUȘ

Galați
Anul 2024

Rezumat

Industria dronelor a crescut semnificativ în ultimii ani, devenind esențială în diverse domenii precum agricultură, securitate, logistică și filmare. Această creștere este susținută de avansurile tehnologice care au permis dezvoltarea de drone mai eficiente și mai accesibile. Un aspect crucial al funcționării dronelor este sistemul de control al altitudinii, esențial pentru stabilitatea și precizia zborului. Aceste sisteme, care utilizează senzori barometrice, GPS și algoritmi avansați, sunt extrem de precise și pot recunoaște persoane, zburând cu o precizie incredibilă chiar și în cazul dronelor mici, de doar 5 cm. În plus, aceste sisteme sunt integrate cu inteligența artificială, îmbunătățind performanța și adaptabilitatea în diverse condiții de operare. Această evoluție continuă stimulează inovația și extinde aplicabilitatea dronelor în noi domenii, evidențiind potențialul imens al acestor tehnologii în viitorul apropiat.

Această lucrare de licență se va concentra pe analiza detaliată a componentelor utilizate în construcția unei drone, oferind specificații tehnice și funcționale pentru fiecare piesă. Printre componentele discutate se vor număra motoarele, elicele, controlerul de zbor, senzorii și sistemele de comunicație. Pe lângă descrierea fizică, vor fi examinate și motivele pentru care au fost alese aceste componente specifice, inclusiv costul, performanța și compatibilitatea.

Un capitol important al lucrării va fi dedicat testării performanțelor sistemului video al dronei. Aceste teste vor fi efectuate pentru a evalua calitatea imaginii, stabilitatea transmisiei și capacitatea de recunoaștere a obiectelor, utilizând metode avansate precum filtrul Kalman, care va contribui la îmbunătățirea preciziei și fiabilității datelor video. Aceste teste vor fi esențiale pentru validarea eficienței sistemului video în diferite condiții de zbor.

În plus, va fi dezvoltat un program în limbajul Python, capabil să preia datele de la telecomandă, să le proceseze și să utilizeze un algoritm PID (Proportional-Integral-Derivativ) pentru a controla puterea motoarelor. Acest sistem PID va calcula ajustările necesare pentru menținerea altitudinii dorite, asigurând stabilitatea dronei în zbor. Programul va integra datele de la senzori precum accelerometre, giroscopice și barometre pentru a realiza o calibrare precisă și rapidă a altitudinii, răspunzând eficient la modificările de mediu și la comenzi.

De asemenea, se vor discuta alte metode de programare și algoritmi utilizați în dezvoltarea acestui sistem, explicând principiile teoretice și implementările practice. Această abordare cuprinzătoare va demonstra cum tehnologiile moderne pot fi aplicate pentru a crea drone eficiente și autonome, capabile să îndeplinească sarcini complexe cu un grad ridicat de precizie și fiabilitate. În concluzie, lucrarea va evidenția impactul acestor tehnologii asupra viitorului dronelor și va propune direcții viitoare pentru cercetare și dezvoltare în acest domeniu.

CUPRINS

Introducere.....	1
Capitolul 1. Arhitectura hardware a dronei.....	3
1.1. Noțiuni introductive.....	3
1.2. Ustensile esențiale	3
1.3. Cadrul.....	3
1.4. Controlerul de zbor	4
1.7. Bateriile	11
1.7.1. Înțelegerea bazelor bateriilor LiPo	11
Capitolul 2. Arhitectura hardware a sistemului de control creat	14
2.1. Viziunea asupra proiectului	14
2.2. Diagrama de conectare	14
2.3. Raspberry pi 4B.....	15
2.4. Senzorul HC-SR04	15
2.5. Senzorul MPU5060	16
2.6. Senzorul HMC5883L	17
2.7. Senzorul WH-611	18
2.8. Transmițătorul si receptorul FlySky	18
Capitolul 3. Testarea sistemelor video și de transmisie in condiții reale	20
3.1. Metodologia de testare	20
3.2. Specificații Tehnice și Echipamente Utilizate	20
3.3. Criterii de Evaluare.....	21
3.4. Impactul Distanței și Factorii Ambientali	22
3.5. Concluzii și Recomandări	24
Capitolul 4. Proiectarea si implementarea Software	25
4.1. Sistemul de operare instalat pe Raspberry pi 4.....	25
4.2. Python 3.12.....	25
4.3. Măsurarea unghiului de rotație.....	26
4.3.1. Principiul de funcționare al giroscopului.....	26
4.3.2. Protocolul I2C.....	27
4.3.3. Primul pas pentru măsurarea unghiurilor	29

4.4.	Filtrul Kalman.....	34
4.4.1.	Introducere.....	34
4.4.2.	Stările sistemului	35
4.4.3.	Implementarea codului	37
4.5.	Măsurarea înălțimii	38
4.5.1.	Senzorul barometric	38
4.5.2.	Implementarea software	39
4.5.3.	Accelerometrul	42
4.5.4.	Senzorul ultrasonic.....	43
4.6.	Controlul sistemului.....	44
4.6.1.	Radiocomanda	44
4.6.2.	Multitasking sau Multithreading.....	46
4.6.3.	PID.....	48
4.6.4.	Trimiterea datelor către drona	49
Capitolul 5.	Capitolul 5. Costuri si Fiabilitate	51
Concluzii.....		54
Bibliografie.....		55
Anexa 1		57

LISTA FIGURILOR

Figura 0.1: Prezicerea pieței de date a dronelor din 2023 până în 2033[4]	2
Figura 1.1: Cadrul din fibră de carbon “Mark 4”	4
Figura 1.2: Schema tehnică a controlerului „SpeedyBee F405” [9]	5
Figura 1.3: Schema de conectare a unui motor la ESC [10]	6
Figura 1.4: Statorul unui motor fără perii[12].....	7
Figura 1.5: Imagine reprezentată a unei elice [13].....	10
Figura 1.6: Graficul de funcționare a unei celule.....	11
Figura 1.7: Înțelegerea datelor tehnice ale bateriei	12
Figura 1.8: Încărcarea unei baterii LiPo S6	13
Figura 2.1: Diagrama de conectare a senzorilor realizată in Fritzing	14
Figura 2.2: Diagrama de conectare a sistemului creat la o unitate de zbor [14].....	15
Figura 2.3: Senzorul HC-SR04 [15].....	16
Figura 2.4: Modul de funcționare a accelerometrului [16].....	16
Figura 2.5: Modul de funcționare a giroscopului [16].....	17
Figura 2.6: Modul de funcționare a magnetometrului [17]	17

Figura 2.7: Un barometru aneroid clasic [18]	18
Figura 2.8: Transmițătorul FlySky [19]	19
Figura 2.9: Receptorul FS-IA6B FlySky [20]	19
Figura 3.1. Configurația de măsurare.....	20
Figura 3.2. Măsurarea vizuala a erorilor	22
Figura 3.3. Perturbațiile provocate de vreme si obstacole	23
Figura 3.4. Comportamentul sistemului video in relație cu interferențele si pierderea de semnal	23
Figura 3.5. Graficul reprezentativ al terenului unde s-a realizat studiul.....	24
Figura 4.1. Debian Bullseye.....	25
Figura 4.2. Axele de rotație a unei aeronave [23]	26
Figura 4.3. Modul de funcționare Master Slave al protocolului I2C [24]	27
Figura 4.4. Ecranul de configurare al setărilor	27
Figura 4.5. Pașii de activare a protocolului I2C.....	28
Figura 4.6. Lista senzorilor conectați prin protocolul I2C	28
Figura 4.7. Citirea unghiurilor cu ajutorul giroscopului	30
Figura 4.8. Citirea unghiurilor cu ajutorul accelerometrului	31
Figura 4.9. Filtrul complementar	31
Figura 4.10. Drona in poziție staționară.....	32
Figura 4.11. Citirea datelor cu ajutorul filtrului trece-jos.....	33
Figura 4.12. Rezultatul calibrării senzorului MPU6050.....	33
Figura 4.13. Câștigul Kalman in timp	36
Figura 4.14. Graficul măsurătorilor altitudinii	41
Figura 4.15. Graficul măsurătorilor altitudinii cu ajutorul accelerometrului	42
Figura 4.16. Graficul structurii de control PID	49

LISTA TABELELOR

Tabelul 1.1. Alegerea motoarelor pentru o baterie de tip 4S	9
Tabelul 3.1. Măsurătorile video in condiții optime	21
Tabelul 3.2. Măsurătorile receptorului radio	21
Tabelul 3.3. Măsurătorile video in condiții neprielnice	22
Tabelul 5.1. Costurile pieselor dronei alese	51

INTRODUCERE

Conceptul de dronă reprezintă un vehicul aerian, care poate zbura fără a avea un pilot uman la bord. Acestea pot fi controlate de un operator uman, de la distanță, prin diverse mijloace sau prin funcționarea autonomă pe baza unor programe sau planuri de zbor, utilizând anumiți algoritmi atât matematici cât și pe baza inteligenței artificiale.

Prima “dronă” din istorie a fost construită la începutul secolului al XX-lea, de un fotograf, care a echipat mai multe zmeie cu o cameră ce cântărea 22 de kilograme pentru a face o poză de la câteva sute de metrii a orașelor San Francisco, Chicago și New York City.[1]

Conceptul de dronă modernă, avion-țintă controlat cu telecomandă, a fost folosit pentru prima dată în al Doilea Război Mondial și a avut ca rol antrenarea piloților militari. Abia în anii 1960 și 1970, cu ajutorul evoluției tehnologiei, dronele au putut fi folosite pentru misiuni de recunoaștere și supraveghere [2].

În zilele noastre, există o multitudine de senzori folosiți pentru a spori sensibilitatea vehiculelor aeronautice fără pilot [3] precum:

- IMU (unități de măsură inerțiale) este un dispozitiv electronic, capabil să măsoare accelerația și rotația. Acesta este folosit în special pentru a calcula poziția și viteza, fiind un ansamblu de senzori conceput, de regulă, dintr-un accelerometru, un giroscop și un magnetometru.
- GPS, având rolul de a primi date de la sateliți, date determinate prin triangulare. Acest tip de senzori poate citi atât locația și viteza, cât și altitudinea. Este folosit, de cele mai multe ori, la sistemele mai complexe, pentru a crește acuratețea poziționării.
- Senzorii ultrasonici, folosiți în general la jucării, au rolul de a detecta altitudinea relativă a aeronavei, dar pot fi folosiți și la detectarea obstacolelor. Aceștia sunt o alternativă ieftină în locul senzorilor GPS.
- Senzorii laser, exact ca în cazul celor ultrasonici, sunt folosiți pentru a detecta altitudinea sau obstacolele.
- Camera video, utilizată în special pentru supravegherea zborului, este un punct cheie în multe industrii, începând de la posibilitățile de cinematică la detectarea și recunoașterea obiectelor, până la crearea sistemelor de detectare a obstacolelor.

Conceptul de vehicul aeronautic fără pilot constituie o temă de mare actualitate, având în vedere dezvoltarea rapidă a acestei industrii și potențialul considerabil de inovare pe care îl prezintă. Dronelor li se descoperă constant noi aplicații în diverse domenii, de la logistică și cartografiere, la agricultură de precizie și securitate.

În acest context, ideile inovatoare pot avea un impact semnificativ asupra viitorului industriei. Tinerii inovatori, datorită perspectivelor lor unice și neconvenționale, pot aduce contribuții esențiale în ceea ce privește îmbunătățirea autonomiei, navigației și eficienței energetice a dronelor. Încurajarea creativității și susținerea cercetării în rândul acestora sunt vitale pentru progresul continuu al tehnologiei și pentru formarea unei generații de profesioniști capabili să modeleze viitorul acestei industrii.

Conform unui studiu realizat de Vision RESEARCH REPORTS [4] reiese faptul că în industria dronelor, la nivel global, este prevăzută o creștere anuală cu până la 39.02%.

Expansiunea rapidă a pieței serviciilor de date pentru drone poate fi atribuită mai multor factori cheie de creștere. În primul rând, adoptarea tot mai mare a dronelor în diverse industrii, cum ar fi agricultura, construcțiile și monitorizarea mediului, stimulează cererea pentru servicii de date.

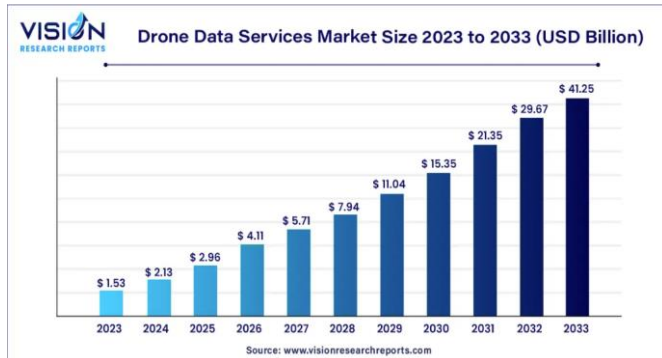


Figura 0.1: Prezicerea pieței de date a dronelor din 2023 până în 2033[4]

Scopul prezentei lucrări constă în dezvoltarea unui sistem avansat de control al altitudinii pentru un vehicul aeronautic fără pilot, realizat prin conceperea și implementarea unui prototip. Acesta va integra o serie de senzori, care vor furniza date esențiale privind parametrii de zbor. Pe baza acestor date, vor fi aplicate formule matematice și algoritmi de control avansați, care vor asigura stabilitatea și precizia necesare pentru menținerea altitudinii dorite.

În mod specific, lucrarea va aborda selectarea și calibrarea senzorilor adecvați, cum ar fi cei de presiune barometrică, accelerometrele și giroscopurile, pentru a obține măsurători precise și fiabile ale altitudinii și poziției vehiculului.

De asemenea, vor fi dezvoltați algoritmi de control, cum ar fi controlul proporțional-integral-derivativ (PID) și algoritmi de control adaptiv, care să permită ajustarea continuă a parametrilor de zbor pentru a compensa variațiile și perturbările externe.

Există o multitudine de probleme întâlnite pe parcursul proiectului, pornind de la compatibilitatea pieselor, în cazul alegerii greșite ale acestora, continuând cu probleme de interpretare a datelor, formule matematice greșite și terminând cu problematica scrierii codului.

În această lucrare, au fost utilizați mai mulți algoritmi avansați pentru a asigura controlul precis al altitudinii unui vehicul aeronautic fără pilot. Printre aceștia se numără algoritmi de control proporțional-integral-derivativ (PID), algoritmi de reducere a zgomotului, precum filtrul Kalman, și algoritmi complementari. Algoritmul PID a fost ales pentru capacitatea sa de a ajusta continuu parametrii de zbor, asigurând stabilitatea și reducerea erorilor. Filtrul Kalman a fost integrat pentru a îmbunătăți acuratețea măsurătorilor prin estimări precise ale stării sistemului, reducând influențele zgomotului și incertitudinilor.

Algoritmi complementari au fost folosiți pentru a combina datele provenite de la diferiți senzori, precum accelerometrele și giroscopurile, oferind astfel o estimare robustă și coerentă a altitudinii și orientării vehiculului.

Prin utilizarea acestor algoritmi, sistemul dezvoltat asigură un control stabil și precis al altitudinii, demonstrând eficiența și robustețea în urma testelor practice și simulărilor.

CAPITOLUL 1. ARHITECTURA HARDWARE A DRONEI

1.1. Noțiuni introductive

Chiar dacă acest subiect poate fi destul de greu de abordat la o prima vedere, cu ajutorul unor informații bine structurate, de actualitate și corecte, orice începător în domeniul construcției de drone poate fi capabil să realizeze un sistem funcțional și capabil de zbor.

O întrebare bună poate fi “Nu e mai simplu să achiziționezi direct o dronă?”, dar asamblând un vehicul aeronautic fără pilot poate învăța un utilizator cunoștințe din diverse domenii, precum: compatibilitatea dintre fiecare piesă și fiecare protocol, cum se poate repara un astfel de sistem în cazul unei defecțiuni, cum se calibrează un sistem de control PID și multe altele.

Este adevărat că pentru o persoană nefamiliarizată cu acest subiect, construcția primei drone este un proces anevoios și poate dura de la câteva zile până la câteva luni, luând în calcul complexitatea proiectului și posibilitatea de personalizare. [5]

1.2. Ustensile esențiale

Pentru un astfel de proiect trebuie luată în considerare necesitatea diferitelor ustensile necesare în construirea unui vehicul aeronautic fără pilot. Probabil cea mai importantă unealtă este pistolul de lipit, sau stația de lipit, deoarece cu excepția componentelor costisitoare create special pentru a fi conectate prin mufe speciale, fiecare piesă ce trebuie încadrată într-un buget va avea nevoie de suduri. Pe lângă un pistol de lipit vor fi necesare diferite chei hexagonale și șurubelnițe. Este recomandat totodată prezența benzii izolatoare, a unui multimetru, unei foarfeci sau a unui dispozitiv de tăiere și dezizolare a cablurilor.

1.3. Cadrul

Cadrul este reprezentat de o structură solidă pe care se montează toate componentele. Dimensiunea și materialul din care sunt create impactează foarte tare durabilitatea, modul de zbor, viteza maximă și accelerația maximă a dronei, dar și timpul de zbor și capabilitatea de manevrare a acesteia.

Mărimea cadrului este esențială, deoarece aceasta limitează dimensiunile maxime ale elicelor, care mai târziu impactează alegerea motoarelor.

Cele mai des întâlnite materiale folosite în domeniul construcțiilor de vehicule aeronautice fără pilot sunt fibra de carbon, aluminiul, plasticul și lemnul. Fibra de carbon este un material ușor, rigid, și rezistent la coroziune, dar totodată scump și casant. Aluminiul este ieftin, puternic, ușor de îndoit, dar mai greu și predispus la vibrații. Plasticul este flexibil, durabil și ieftin, dar și mai puțin rigid și afectat de căldură. Lemnul este ieftin, și ușor de prelucrat, dar este de asemenea greu, slab din punct de vedere a rezistenței și neomogen. [6]

Considerând acești factori, în acest proiect a fost ales un cadru de fibră de carbon, pe care s-au montat un set de suporturi din plastic printați 3D pentru a atenua căderile de la distanțe mari sau aterizările forțate.



Figura 1.1: Cadrul din fibră de carbon "Mark 4"

1.4. Controlerul de zbor

Dacă cadrul dronei poate fi considerat drept „scheletul” sau structura de rezistență, atunci controlerul de zbor este mai mult ca sigur „creierul” sistemului, deoarece acesta are scopul atât de a da comenzi motoarelor, sau controlerelor electronice de viteză, cât și a citi datele de la senzori, a le interpreta și a le filtra cu ajutorul unor algoritmi complexi.

Toate controlerile de zbor sunt echipate cu senzori precum: giroscopul și accelerometrul. Unele includ și senzori adiționali, cum ar fi cel de presiune barometrică sau magnetometrul, pentru a sprijini zborurile autonome. De asemenea, acestea pot fi extinse cu piese externe, cum ar fi GPS-ul, LED-urile, servo-motoarele și sistemele de transmisie video.[7]

Există mai multe tipuri de unități de control și se clasifică în 3 mari clase[8]:

a) Pentru începători, aceste controlere sunt pre-programate și pot fi folosite imediat fără procese complicate de cablare sau calibrare. Sunt ideale pentru piloții noi și au un software prietenos și opțiuni de reglaj de bază.

Exemplu: *Seria KK Flight Controller (KK2.0, KK2.1) și Beta Flight: Open Pilot CC3D*

b) Pentru acrobații și curse, fiind compacte, ușoare și au procesoare rapide, fiind ideale pentru manevre rapide și agile, precum și pentru curse de drone.

Exemplu: *SP Racing F3 (versiunea ACRO) și Naze32 6DOF Flight Control Board*

c) Pentru experți, aceste controlere sunt dotate cu procesoare avansate, o gamă largă de senzori și opțiuni extinse pentru adăugarea de noi instrumente și senzori.

Exemplu: *Seria APM Flight Controller (exemplu: APM 2.8)*

Pentru acest proiect s-a optat alegerea controlerului SpeedyBee F405 V3, cea mai populară unitate de zbor a anului 2023. Cu un preț accesibil de 350 de lei, este echipat cu 4 controlere electronice de viteză folosite la manevrarea motoarelor, fiecare având un curent maxim de 50 de amperi. Acesta are o cutie neagră pentru înregistrarea datelor de zbor, Bluetooth pentru a configura unitatea de control cu ajutorul telefonului, capabilități de interpretare video (pentru anumite protocoale) și afișare în timp real a datelor în funcție de preferințele utilizatorului.

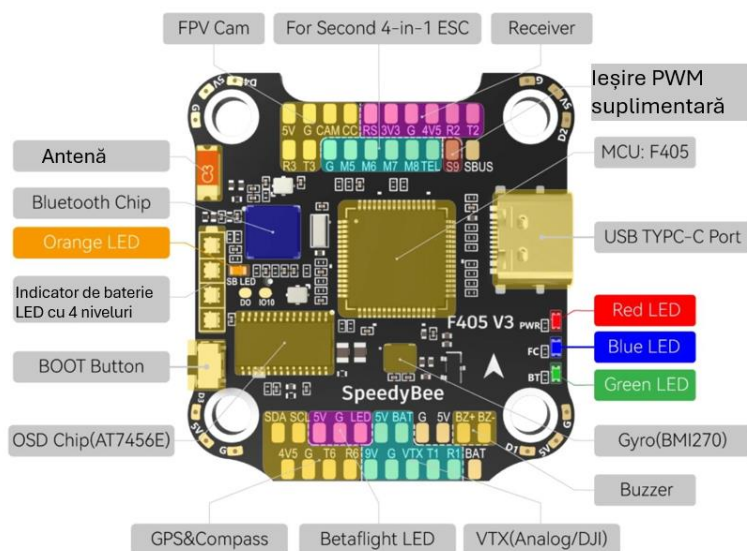


Figura 1.2: Schema tehnică a controlerului „SpeedyBee F405”[9]

1.5. Motoare + ESC

Pentru alegerea corectă a motoarelor este necesară cunoașterea și explorarea acestora atât la interior cât și la exterior, este necesară cunoașterea modului de construcție, caracteristicile de proiectare și factorii care influențează performanța și eficiența. Doar având un set solid de cunoștințe și o idee bine stabilită de proiectare a dronei se pot alege motoarele ideale.

În lumea vehiculelor aeronautice fără pilot există, de regulă, două tipuri de motoare folosite: cele cu perii și cele fără perii. În general, industria are tendința de a alege motoarele fără perii, fiind mai rezistente, mai puternice și mai eficiente din punct de vedere al consumului de energie electrică, pe când motoarele cu perii sunt folosite, de regulă, la jucăriile ieftine, deoarece sunt cele mai eficiente din punct de vedere a prețurilor.

Când se aproximează greutatea totală a unei drone, trebuie luat în calcul toate componentele acesteia: cadru, unitatea de control, motoare, elice, antene, receptori și transmițători, baterii, controlerile de motoare și așa mai departe. Chiar dacă estimarea nu trebuie să fie 100% corectă, aceasta este esențială, fiind mai bine să se supraestimeze și să se aleagă niște motoare cu mai multă putere.

Pentru a fi sigur că aeronava poate zbura, este necesară calcularea puterii minime pentru decolare, creată de motoare în combinație cu elicele. O regulă de bază este cea de a avea o putere de ridicare dublă față de cea minimă pentru a susține

greutatea dronei. În cazul celor de curse sau de zboruri acrobatice, această rație se poate ridica până la 10 la 1 sau 16 la 1. În cazul în care forța de ridicare a sistemului nu este suficientă, aceasta poate determina apariția dificultăților ale vehiculului la decolarea de la sol și a controlului întârziat.

De exemplu, pentru o dronă de 1.5 Kg, este recomandat ca forța maximă generată de motoare să fie de măcar 3Kg, adică 750 de grame pentru fiecare motor, dar mai multă putere este de fiecare dată bine venită. Cu cât rația de putere-greutate este mai mare, agilitatea și accelerația dronei cresc, dar odată cu acestea crește și dificultatea de controlare a sistemului aeronautic.[10]

Pentru a conecta motoarele la o unitate de zbor, este necesar un ESC (electronic speed controller), adică un controler de motor fără perii. Spre deosebire de motoarele cu perii, care au doar două fire, cele fără perii au trei și se conectează la un ESC în orice ordine. Pentru a inversa direcția de rotație, trebuie doar să se inverseze două din cele trei fire și uneori este posibil să se realizeze schimbarea direcției direct din componenta software.[11]

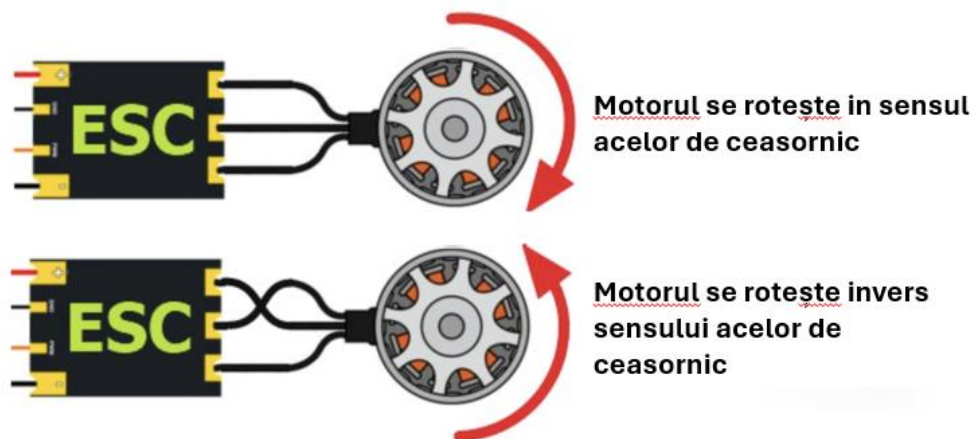


Figura 1.3: Schema de conectare a unui motor la ESC [10]

Înțelegerea și decodificarea datelor tehnice a unui motor fără perii necesită anumite cunoștințe ce vor fi prezentate în următoarele rânduri, astfel făcând mai ușoară alegerea corectă a acestora.

Dimensiunile motorului sunt reprezentate de numărul format din patru cifre, ca de exemplu 2507, unde primele două numere reprezintă lățimea statorului (diametrul), iar ultimele reprezintă înălțimea statorului, ambele fiind măsurate în milimetrii.

Satorul este partea staționară a motorului constând în “polii” acestuia înfășurați cu fir de cupru. Acești poli sunt realizați din mai multe plăci metalice subțiri lipite cu ajutorul unor straturi foarte subțiri de izolație.

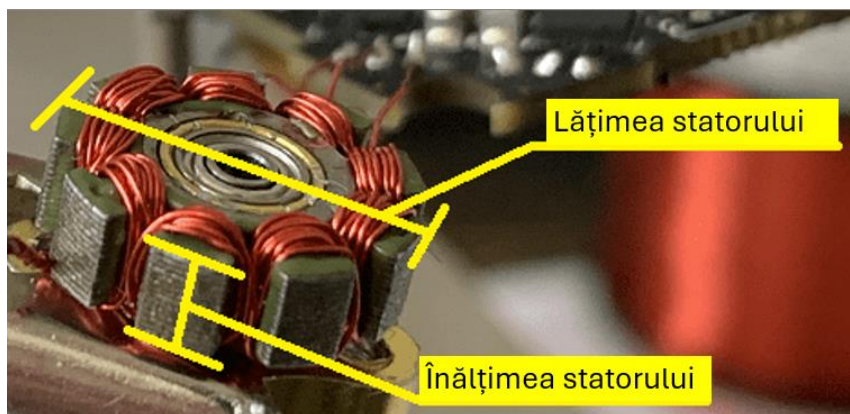


Figura 1.4: Statorul unui motor fără perii[12]

Motoarele mai late au mai multă inerție când se învârt, deoarece masa motorului este mai departe de axul de rotație, necesitând mai multă energie pentru a schimba RPM-ul (numărul de rotații pe minut). În consecință, motoarele mai late și mai scunde sunt de obicei mai puțin receptive decât cele mai înguste și mai înalte, chiar dacă statorul acestora are același volum și generează aceeași turație. Motoarele mai late și mai scurte au, de asemenea, magneți mai mici, ceea ce poate reduce puterea motorului.

Cu toate acestea, motoarele mai largi oferă o răcire mai bună datorită suprafeței mai mari, temperatura fiind esențială pentru performanța motorului. Pe măsură ce un motor se încălzește, capacitatea sa de a genera flux magnetic scade, afectând eficiența și producția de cuplu.

În esență, lățimea și înălțimea unui stator de motor reprezintă un echilibru între reacție și răcire. Decizia depinde de stilul de zbor.

Statoarele mai late permit, de asemenea, rulmenți mai mari, ceea ce poate îmbunătăți eficiența, netezimea și longevitatea.

Statoarele mai mari nu sunt întotdeauna mai bune. De exemplu, motoarele 2207 pot gestiona elice tipice de 5 inch, dar utilizarea motoarelor 2506 mult mai grele de același KV pot să nu ofere beneficii vizibile, deoarece ar produce aceeași forță folosind aceleași elice sau chiar ar oferi o reacție mai slabă din cauza greutatei. Pentru a îmbunătăți performanța fără a adăuga greutate, luați în considerare motoarele KV mai mari. Cu toate acestea, motorul 2506 din acest exemplu ar funcționa probabil mai bine pentru elicele de 6 inch decât 2207 din cauza cerințelor crescute de cuplu.

Motoarele cu cuplu mare oferă schimbări rapide ale turației și timp de răspuns mai rapid, ceea ce duce la mai puține oscilații și răspunsuri mai rapide.

Cuplul motorului depinde de mai mulți factori, printre care:

- Dimensiunea statorului (volum);
- Materiale: tipul magneților și calitatea înfășurărilor de cupru;
- Construcția motorului: cum ar fi spațiul de aer, numărul de poli etc.;
- Deoarece motoarele fără perii au specificații și design similare, în ultimii ani, dimensiunea statorului este cea mai simplă modalitate de a cuantifica cuplul.

Dimensiunea statorului poate fi calculată folosind formula volumului unui cilindru:

$$volum = \pi * raza^2 * \text{înălțime} \quad (1.1)$$

Cu cât volumul statorului este mai mare, cu atât un motor poate genera mai mult cuplu. Comparând un motor 2306 cu un volum de 2492.85, un motor 2207 are un cuplu mai mare.

Când se alege un motor, se compară volumul și greutatea statorului motorului. Este de preferat un motor mai ușor, cu același volum, presupunând că alți factori sunt egali. Deci, de ce nu se alege cel mai mare motor disponibil? Răspunsul constă în greutate. Motoarele cu volume mai mari ale statorului sunt mai grele, așa că depinde foarte mult de aplicație.

Singurul moment în care este preferat un motor mai puțin puternic (cu cuplu mai mic) este atunci când netezimea este prioritară față de reacție. Motoarele cu cuplu mare pot schimba RPM atât de repede încât se pot simți neuniforme și mai puțin netede. Ele pot crea, de asemenea, mai multe vârfuri de tensiune și zgomot electric în sistemul de alimentare, care pot afecta performanța giroscopului și performanța generală a zborului, dacă filtrarea zgomotului nu este optimă, ceea ce duce la oscilații.

„KV” indică numărul de rotații pe minut (rpm) atunci când se aplică 1 V (un volt) fără nicio sarcină sau elice atașată la motor. De exemplu, un motor de 2300KV alimentat de o baterie LiPo 3S (12.6V) se va învârti la aproximativ 28.980 RPM fără elice montate (2300 x 12.6). KV este de obicei o estimare aproximativă specificată de producătorul motorului.

Dacă un motor cu KV mare este asociat cu o elice excesiv de mare, motorul va încerca să se învâртеască rapid, așa cum ar face cu o elice mai mică, necesitând un cuplu mai mare. Această cerere crescută de cuplu va duce la un consum mai mare de curent și la generarea de căldură. Supraîncălzirea poate duce la arderea motorului, deoarece învelișul bobinei se poate topi și poate provoca scurtcircuitări electrice în interiorul motorului. De aceea, un motor KV mai mare este probabil să funcționeze mai fierbinte decât un motor KV mai mic de aceeași dimensiune.

Motoarele KV mai mari au o constantă de cuplu mai mare, ceea ce înseamnă că au nevoie de mai mult curent pentru a genera aceeași cantitate de cuplu în comparație cu un motor KV mai scăzut. Pentru a genera aceeași cantitate de cuplu, motorul KV mai mare necesită mai mult curent, ceea ce duce la pierderi suplimentare în ESC, baterie și fire. În plus, se acumulează mai multă căldură în motor datorită curentului mai mare, este generat mai puțin flux magnetic. În general, un motor KV mai mare este mai puțin eficient dacă ar fi să se zboare cu aceeași viteză ca și motorul KV mai mic.

Prin urmare, este o idee bună să se evite exagerarea cu KV, fiind recomandat să fie menținut moderat. Acest lucru este deosebit de important atunci când se construiește un vehicul aeronautic fără pilot cu rază lungă de acțiune care prioritizează eficiența și durata timpului de zbor.

Când cineva caută motoare pentru dronă, poate întâlni specificații precum „12N14P” pe cutie. Aceste numere au o semnificație specifică: numărul care precedă litera „N” indică numărul de electromagneți (poli) din stator, în timp ce numărul care precedă litera „P” reprezintă numărul de magneți permanenți din clopoțel.

Diferitele dimensiuni ale motoarelor au un număr variabil de poli; de exemplu, motoarele 22XX și 23XX au în general 12 poli și 14 magneți.

Numărul de poli influențează direct performanța motorului. Dacă există mai puțini poli, se poate încorpora mai mult conținut de fier în stator, ceea ce duce la o putere mai mare. Totuși, un număr mai mare de poli asigură un câmp magnetic distribuit mai uniform. Acest lucru rezultă într-un motor care funcționează mai lin și permite un control mai fin al rotației clopoțelului.

Pentru a determina dimensiunea ideală a motorului, se urmărește această secvență:

$$\text{Dimensiune cadru} \Rightarrow \text{Dimensiune elice} \Rightarrow \text{Dimensiune motor} \quad (1.2)$$

Identificarea dimensiunii cadrului este primul pas. Dimensiunea cadrului constrânge dimensiunea elicei, iar fiecare dimensiune a elicei necesită o turație diferită a motorului pentru a genera forță eficient. Aici intervine valoarea KV a motorului.

Tabelul de mai jos oferă un ghid general. Nu este o regulă rigidă, deoarece este posibil să găsiți oameni care folosesc motoare KV puțin mai mari sau mai mici decât sugerează tabelul. Cu toate acestea, servește ca un bun punct de plecare. Acest tabel presupune alimentarea dronei cu baterii 4S LiPo, iar dimensiunea cadrului se referă la distanța diagonală de la un motor la celălalt.

Tabelul 1.1. Alegerea motoarelor pentru o baterie de tip 4S

Dimensiune cadru	Dimensiune elice	Dimensiune motor	KV motor
180-220mm	4-5 inch	22XX	2300-2700
220-250mm	5-6 inch	23XX	2000-2500
250-300mm	6-7 inch	24XX	1700-2300
300-350mm	7-8 inch	25XX	1400-2000

Aceste valori sunt orientative și pot varia în funcție de preferințele personale și de specificațiile tehnice exacte ale componentei folosite. Alegerea finală ar trebui să țină cont de testările și ajustările efectuate pentru a obține performanța dorită.

1.6. Elice

Elicele sunt „eroii” necunoscuți ai unei drone. Ele joacă un rol crucial în generarea de forță care ridică drona de la sol și îi permite să se miște în direcții diferite. Cu toate acestea, mulți piloți de drone trec adesea cu vederea importanța alegerii elicelor potrivite, ceea ce duce la probleme precum creșterea zgomotului, reducerea timpului de zbor sau chiar defectarea motorului.

Elicele sunt proiectate pentru scopuri diferite, pasul, forma și materialul joacă toate un rol în performanța și caracteristicile de zbor.

S-a descoperit faptul că elicele HQ sunt unele dintre cele mai fine și mai ușor de reglat. Ele par a fi mai echilibrate și produc mai puține vibrații. De asemenea, tribladul a fost un favorit față de cele twinblades când vine vorba de netezimea zborului.

Elicele sunt proiectate să se rotească fie în sensul acelor de ceasornic (CW) fie în sens invers acelor de ceasornic (CCW). Într-un vehicul de zbor, două motoare se rotesc în sens orar, iar celelalte două se învârt în sens invers, deci este important să potriviți elicele cu motoarele în funcție de direcția de rotație dorită.

Pe o dronă, plasarea descentrată a elicelor produce atât tracțiune, cât și rotație în jurul centrului dronei. Pentru a contracara această rotație, este necesară folosirea a două elemente de elice CW și două CCW.

La achiziționarea de elice, acestea vin de obicei în perechi de CW și CCW.

Pentru a genera o tracțiune în jos, ca drona să decoleze, elicele ar trebui să se învârtă într-un mod care să permită marginii înainte să taie mai întâi aerul, aerul scăpând apoi prin marginea de fugă. Se poate determina cu ușurință direcția unei elice identificând marginea sa anterioară, care este adesea etichetată ca CW sau CCW pe lamă.

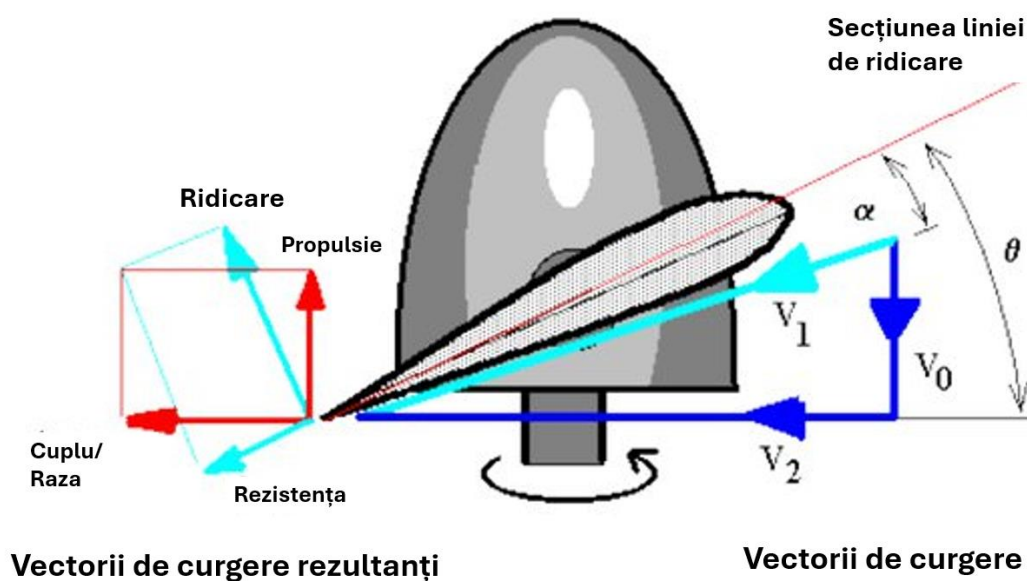


Figura 1.5: Imagine reprezentată a unei elice [13]

1.7. Bateriile

1.7.1. Înțelegerea bazelor bateriilor LiPo

Bateriile LiPo sunt preferate pentru drone datorită raportului lor excelent între putere și greutate. Selectarea bateriei potrivite necesită înțelegerea specificațiilor cheie și a terminologiei.

LiPo funcționează în siguranță într-un interval de tensiune specific, de obicei între 3.0V și 4.2V. Supraîncărcarea peste 4.2V poate fi periculoasă și poate duce la incendii, iar descărcarea sub 3V poate degrada iremediabil performanța bateriei. Este recomandat să se oprească descărcarea la 3.5V pe celulă pentru a prelungi durata de viață a bateriei.

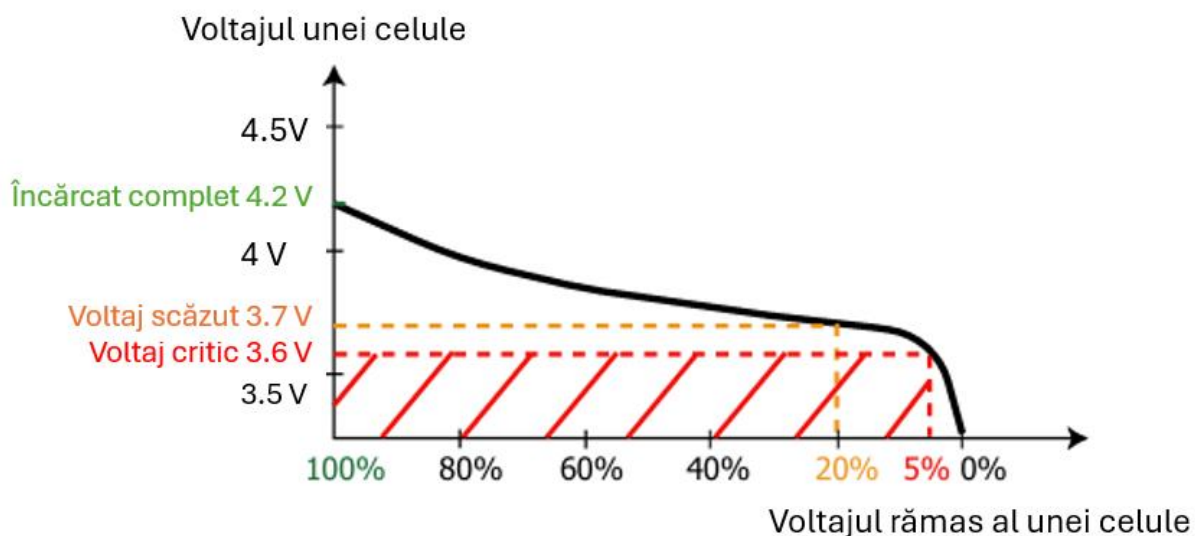


Figura 1.6: Graficul de funcționare a unei celule

Bateriile LiPo pot avea multiple indicate de ratingul „S”:

- 1S** = 1 celulă = 3.7V
- 2S** = 2 celule = 7.4V
- 3S** = 3 celule = 11.1V
- 4S** = 4 celule = 14.8V
- 5S** = 5 celule = 18.5V
- 6S** = 6 celule = 22.2V

Tensiunea bateriei afectează direct viteza motorului, astfel încât folosirea unei baterii cu un număr mai mare de celule poate crește puterea dronei, cu condiția ca drona să suporte tensiunea mai mare. Totuși, mai multe celule înseamnă și o baterie mai grea și mai scumpă.

Capacitatea unei baterii LiPo, măsurată în mAh (miliamperi-oră), arată cât de mult curent se poate extrage continuu din baterie timp de o oră până se golește. Creșterea

capacității bateriei poate oferi un timp de zbor mai lung, dar înseamnă și o baterie mai mare și mai grea.

Ratingul C reprezintă curentul maxim care se poate extrage în siguranță dintr-o baterie LiPo fără a o deteriora:

$$\text{Curent Maxim de Extracție} = \text{Capacitate} \times \text{Ratingul C} \quad (1.3)$$

Depășirea curentului specificat de ratingul C nu este recomandată deoarece bateria se poate supraîncălzi, poate crește rezistența internă în timp, poate scurta durata de viață a bateriei sau, în cazuri extreme, poate provoca un incendiu. Ratingurile C mai mari oferă o performanță mai bună pentru dronele care necesită multă putere, dar adaugă și greutate.

Rezistența internă (IR) a unei baterii sugerează cât de mult se opune curentului. O rezistență internă mai mică înseamnă o livrare mai eficientă a puterii către dronă. Monitorizarea în timp este utilă pentru a determina când o baterie LiPo trebuie retrasă din uz.

Bateriile LiPo au două seturi de fire/conectori: conectorul de descărcare (firul principal) și conectorul de echilibrare (firul de echilibrare). Conectorul de echilibrare permite monitorizarea și echilibrarea tensiunii fiecărei celule în timpul încărcării. Conectarea corectă a firului de echilibrare înainte de încărcare este esențială pentru siguranță.

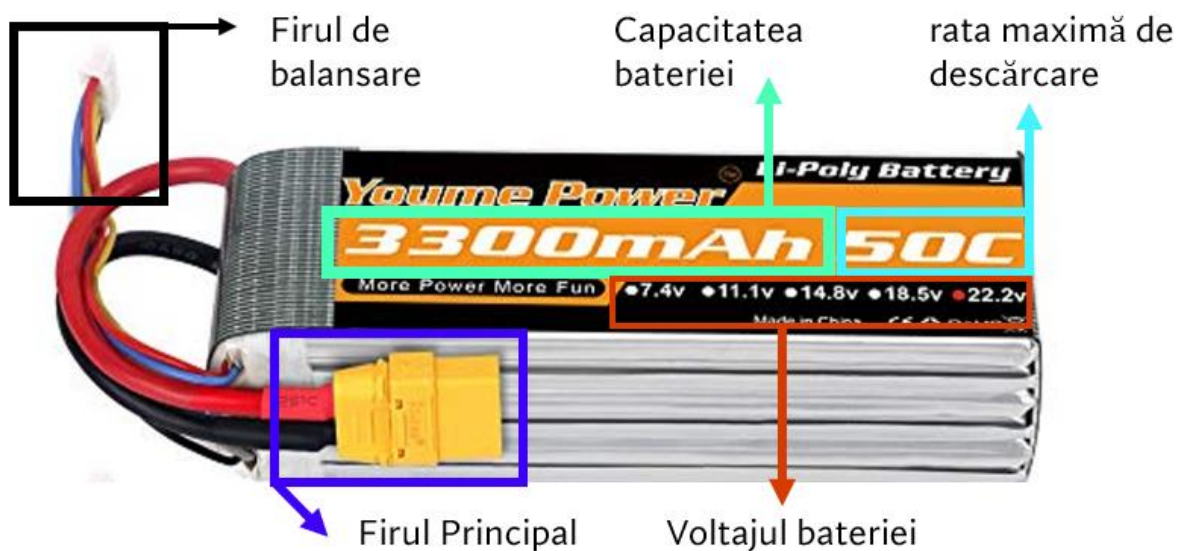


Figura 1.7: Înțelegerea datelor tehnice ale bateriei

Încărcarea bateriilor LiPo necesită un încărcător special proiectat pentru acestea, datorită cerințelor stricte de încărcare. Încărcătoarele moderne facilitează procesul de încărcare prin setarea parametrilor necesari și monitorizarea celulelor.

Modurile de încărcare ale încărcătoarelor

Încărcare echilibrată: Încărcătorul monitorizează și echilibrează tensiunea fiecărei celule.

Încărcare de stocare: Încărcătorul aduce fiecare celulă la tensiunea de stocare (3.80V-3.85V).

Încărcarea fără utilizarea firului de echilibrare poate duce la diferențe periculoase de tensiune între celule. Este recomandat să se utilizeze întotdeauna încărcarea echilibrată.

Încărcarea la un amper sau mai puțin este recomandată pentru a minimiza stresul asupra bateriei. Încărcarea la viteze mai mari, cum ar fi 3A sau 5A, trebuie realizată numai dacă specificațiile bateriei permit acest lucru.



Figura 1.8: Încărcarea unei baterii LiPo S6

Încărcarea trebuie să se facă într-un loc fără materiale inflamabile. Este preferabil să se facă lângă o fereastră sau o ușă pentru a arunca rapid bateria în caz de incendiu.

Bateriile LiPo nu trebuie lăsate nesupravegheate în timpul încărcării. Este esențial să se monitorizeze constant temperatura bateriilor.

Nu se vor folosi sau încărca baterii deteriorate sau umflate și se va verifica setarea corectă a celulelor și tipului de baterie pe încărcător înainte de încărcare.

CAPITOLUL 2. ARHITECTURA HARDWARE A SISTEMULUI DE CONTROL CREAT

2.1. Viziunea asupra proiectului

Inițial, în acest proiect, se dorea crearea unui sistem de localizare a dronei bazat pe mai mulți senzori, cum ar fi accelerometru, giroscop, magnetometru și GPS. Din cauza semnalelor slabe de la sateliți și a funcționării optime a acestora doar pe perioade scurte, s-a ajuns la folosirea unui senzor barometric și unul ultrasonic pentru a compensa datele care trebuiau să fie receptate de GPS. Din cauza acestei lipse, crearea unui sistem de localizare pe toate cele trei axe a devenit foarte greu de implementat, erorile fiind mici pe perioade scurte, dar prin integrare, chiar și cu ajutorul filtrelor sau programelor, devenind foarte mari.

2.2. Diagrama de conectare

Diagrama de conectare reprezintă schema sistemului de control al dronei. Aceasta ilustrează modul în care diferitele componente electronice sunt interconectate pentru a asigura funcționarea corectă a dronei. Diagrama de mai jos arată legăturile între controlerul principal precum și interfețele de comunicație necesare. Scopul este de a clarifica fluxul de semnale și alimentare în întregul sistem.

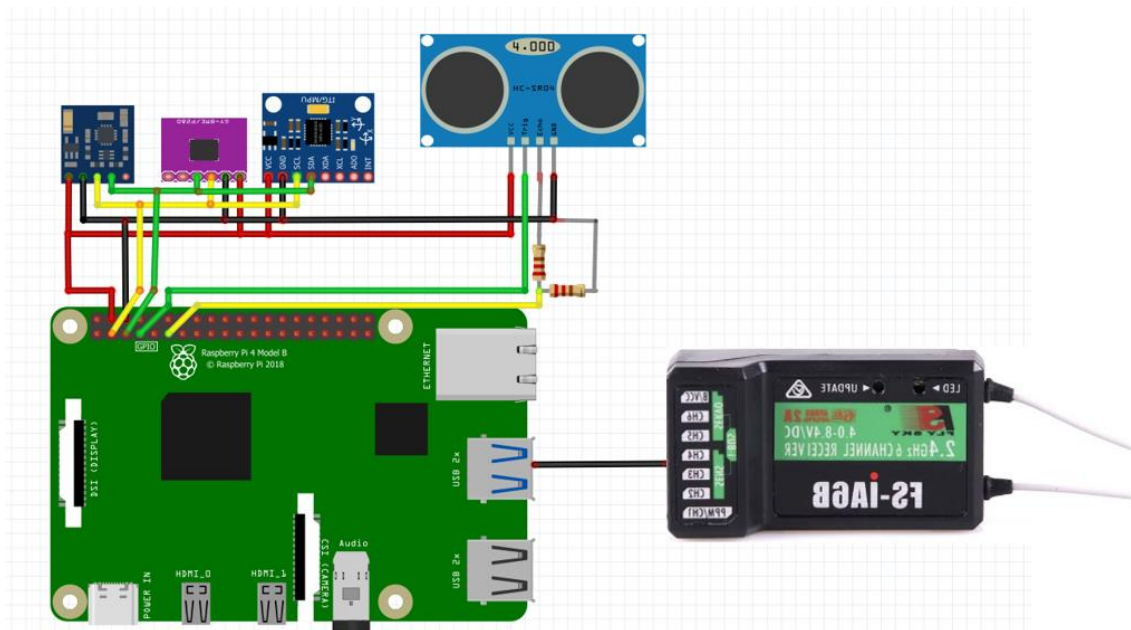


Figura 2.1: Diagrama de conectare a senzorilor realizată în Fritzing

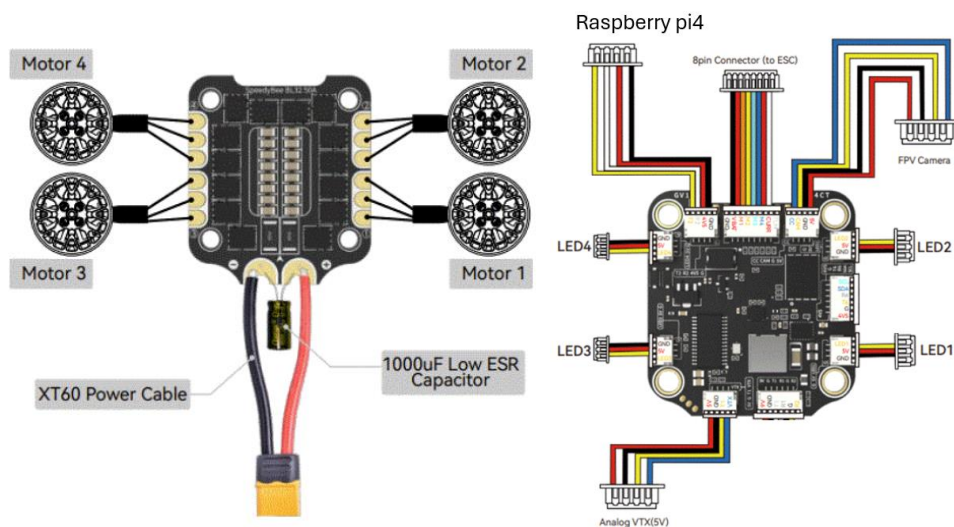


Figura 2.2: Diagrama de conectare a sistemului creat la o unitate de zbor [14]

2.3. Raspberry pi 4B

Raspberry Pi 4B este o placă de dezvoltare cu o putere de procesare impresionantă, fiind ideală pentru proiecte complexe și variate. Echipată cu un procesor quad-core de 1.5 GHz și o capacitate de memorie RAM de până la 8 GB, Raspberry Pi 4B poate gestiona fără dificultate aplicații intensive și multitasking-ul.

Unul dintre punctele forte ale Raspberry Pi 4B este versatilitatea sa în extinderea funcționalităților proiectelor. Dispune de porturi USB 2.0 și 3.0, port Ethernet pentru conectivitate rapidă la internet și două porturi micro-HDMI pentru conectarea a două monitoare simultan. Integrarea Wi-Fi și Bluetooth facilitează conexiunile wireless și comunicarea cu dispozitive externe. De asemenea, portul GPIO permite conectarea unei game variate de senzori și periferice.

Puterea de calcul a microcontrolerului este perfectă pentru aplicații ce necesită filtre și calcule matematice intensive, cum ar fi sistemele de menținere a înălțimii pentru drone. În plus, accesul la o varietate de soluții și biblioteci online este extrem de util pentru rezolvarea diverselor probleme și pentru implementarea tehnologiilor avansate, precum detectarea și recunoașterea obiectelor în timp real.

Raspberry Pi 4B este o opțiune accesibilă comparativ cu platforma Jetson, fiind o alternativă mai economică pentru proiecte care necesită putere de calcul considerabilă. Cu toate acestea, nu face compromisuri în ceea ce privește fiabilitatea și performanța. Este recunoscută pentru stabilitatea sa în funcționare și pentru suportul comunității extinse de dezvoltatori, ceea ce o face o alegere populară în rândul entuziaștilor și profesioniștilor în domeniul IT și al ingineriei.

2.4. Senzorul HC-SR04

Pentru calcularea distanței se utilizează senzorul HC-SR04 în cadrul vehiculelor aeronautice fără pilot în scopul obținerii unei distanțe optime a vehiculului față de sol.

Acesta folosește tehnica sonarului, similară cu cea utilizată de delfini și lileci pentru orientare în spațiu permițând determinarea intervalului până la un obiect fără a necesita contact fizic, oferind o acuratețe ridicată și rezultate precise în anumite medii de utilizare. Senzorul poate măsura distanțe între 2 cm și 400 cm, cu o eroare de până la 3 cm.

Eroarea de măsurare poate fi influențată în principal de materialul din care este format obiectul, dar și de temperatura mediului în care este folosit, însă nu este afectată de lumina soarelui sau de culoarea obiectului detectat. Modulul HC-SR04 include unități de control, un transmițător și un receptor.



Figura 2.3: Senzorul HC-SR04 [15]

2.5. Senzorul MPU5060

Unitatea de măsurare inerțială este unul dintre cei mai utilizați senzori în navigație. MPU6050 IMU are atât accelerometru cu 3 axe, cât și giroscop cu 3 axe integrate pe un singur cip.

Senzorul măsoară accelerația prin măsurarea schimbării capacitivității. Structura microscopică poate fi observată în figura 2.3. Are o masă atașată la un arc care poate să se miște doar într-o direcție, între plăcile externe fixe. Astfel, atunci când este aplicată o accelerație în direcția respectivă, masa se va mișca, iar capacitivitatea între plăci și masa se va schimba. Această schimbare în capacitivitatea este măsurată, procesată și corespunde unei valori specifice de accelerație.[15]

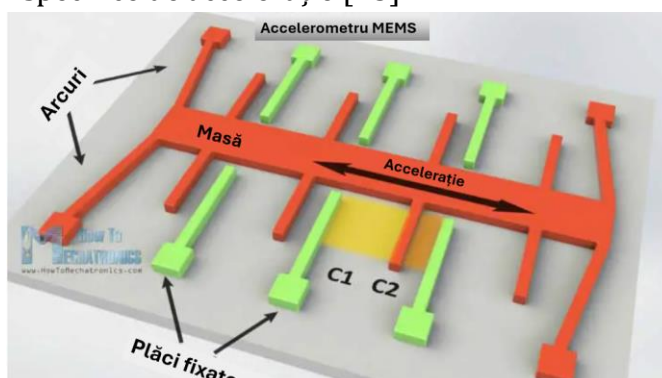


Figura 2.4: Modul de funcționare a accelerometrului [16]

Giroscopul măsoară viteza unghiulară folosind efectul Coriolis. Atunci când o masă se mișcă într-o anumită direcție cu o anumită viteză și când este aplicată o rată unghiulară externă, așa cum este arătat cu săgeata verde în figura 2.5., va apărea o forță,

așa cum este arătat cu săgeata roșie și albastră, care va cauza o deplasare perpendiculară a masei. Similar cu accelerometrul, această deplasare va provoca o schimbare în capacitivitate care va fi măsurată, procesată și va corespunde unei anumite rate unghiulare.

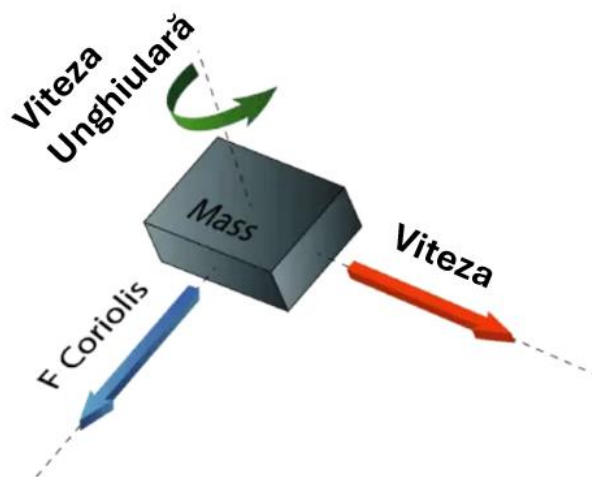


Figura 2.5: Modul de funcționare a giroscopului [16]

2.6. Senzorul HMC5883L

Senzorul măsoară câmpul magnetic al Pământului folosind efectul Hall împreună cu 90% dintre senzorii de pe piață. Dacă există o placă conductoare, cum este afișată în figura 2.6., și curge curent prin ea, electronii vor circula în linie dreaptă de la o parte la alta a plăcii. Însă în prezența unui câmp magnetic în apropierea plăcii, acesta va perturba fluxul drept și electronii se vor deplasa către o parte a plăcii, iar polii pozitivi spre cealaltă parte a plăcii. Înseamnănd că, dacă există un voltmetru între cele două părți, se poate măsura o tensiune care depinde de intensitatea și direcția câmpului magnetic.[16]

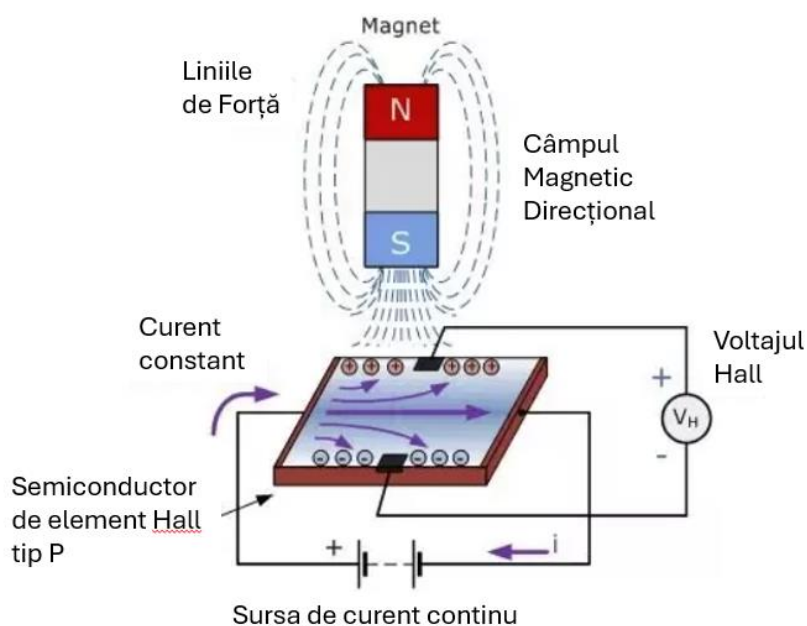


Figura 2.6: Modul de funcționare a magnetometrului [17]

2.7. Senzorul WH-611

În mare parte a istoriei noastre, barometrele depindeau de comportamentul mercurului sau a altor lichide în răspuns la schimbările presiunii atmosferice. Barometrul aneroid, numele său referindu-se la absența lichidului, a fost inventat în 1844, folosind deformarea unui metal în loc.

În acesta, o celulă metalică parțial evacuată este supusă presiunii atmosferice. Pe măsură ce presiunea variază, celula se contractă sau se dilată. Această mișcare este tradusă și amplificată, printr-un arc de contracție, un sistem de pârghii și un indicator, pentru a înregistra o citire pe cadranul barometrului.

Senzorii moderni de presiune barometrică sunt, într-un sens, barometre aneroid, deoarece metoda lor de funcționare nu implică lichid. În construcție și aspect, însă, aceștia sunt foarte diferiți față de predecesorii lor - adesea folosind tehnologia modernă cu sisteme microelectromecanice (MEMS).

În comun cu barometrele aneroid originale, aceștia detectează presiunea atmosferică prin efectul său asupra unei structuri flexibile - în acest caz o membrană sau o diafragmă. Gradul de deformare al membranei este proporțional cu presiunea și este tradus într-un semnal electric.

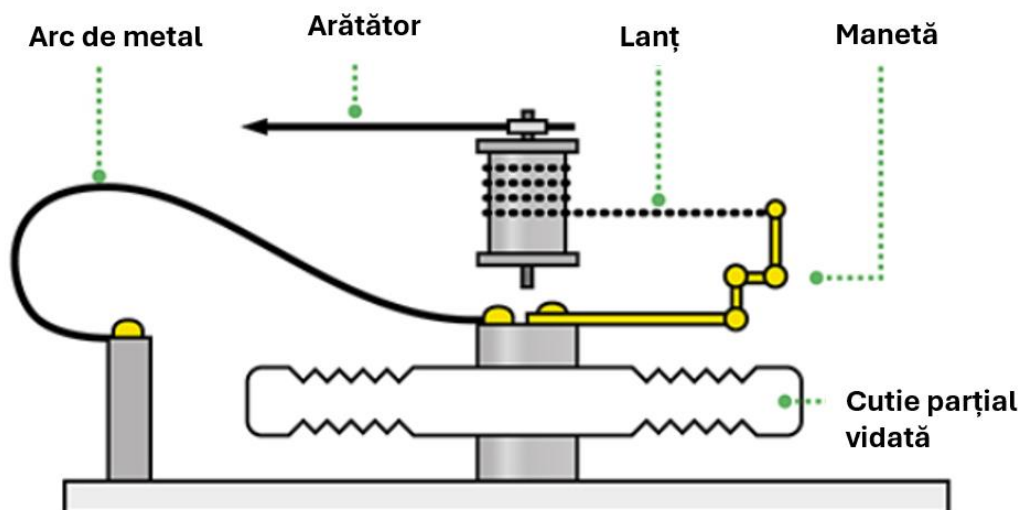


Figura 2.7: Un barometru aneroid clasic [18]

2.8. Transmițătorul și receptorul FlySky

FS-i6 este un sistem digital de control radio care operează pe banda globală ISM de frecvență 2.4GHz, fiind potrivit pentru utilizare globală. Transmițătorul este construit pe tehnologia AFHDS 2A (Automatic Frequency Hopping Digital System Second Generation), ceea ce asigură o comunicare sigură și reduce consumul de energie al transmițătorului. Aceste caracteristici, împreună cu prețul accesibil, l-au făcut alegerea preferată a entuziaștilor de drone din întreaga lume. Transmițătorul și receptorul FLYSKY FS-i6 vine cu o gamă variată de opțiuni care permit personalizarea completă a setărilor de zbor pentru diferite tipuri de drone, avioane, elicoptere și drone de curse.

Pentru cei aflați în faza incipientă, numeroasele butoane, comutatoare, joystick-uri și opțiuni de personalizare pot părea copleșitoare.

Principalul avantaj a acestui transmițător este lipsa necesității asistenței unui calculator sau laptop pentru a-l configura. Are un ecran LCD și poate fi setat ușor folosind butoanele disponibile pe el.

Transmițătorul poate acoperi o distanță de până la 1500 de metri, însă performanța sa poate fi influențată de interferențele magnetice. În locuri cu interferențe magnetice mai mari, raza de acțiune a transmițătorului va fi mai mică, în timp ce în zone cu interferențe mai reduse, acesta poate opera la distanțe mai mari.[18]

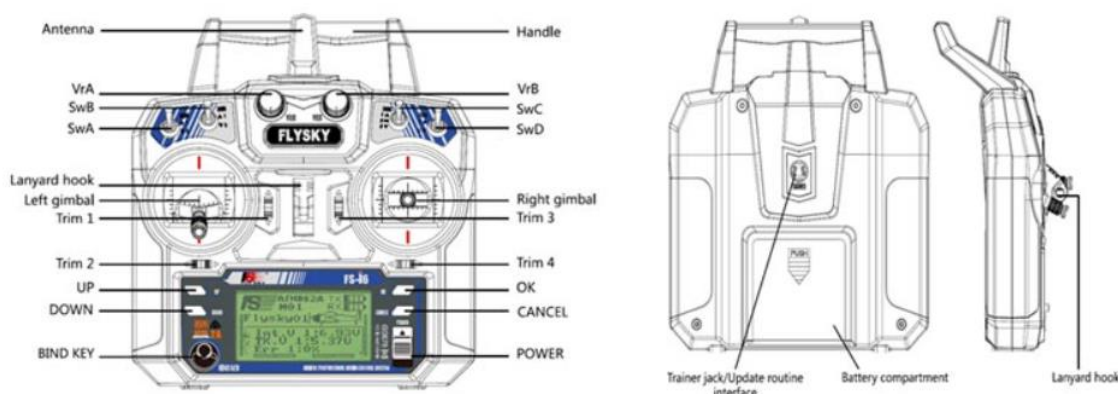


Figura 2.8: Transmițătorul FlySky [19]

FS-i6B suportă mai multe protocoale de comunicație, inclusiv PWM și IBUS, oferind utilizatorilor opțiuni flexibile în funcție de nevoile lor. IBUS este un ideal pentru aplicații precum controlul dronelor. În schimb, PWM (Modulare pe Durată de Impuls) este un protocol analogic tradițional folosit pentru controlul servo-motoarelor și altor echipamente în aplicațiile de radiocontrol.



Figura 2.9: Receptorul FS-IA6B FlySky [20]

CAPITOLUL 3. TESTAREA SISTEMELOR VIDEO ȘI DE TRANSMISIE ÎN CONDIȚII REALE

În era digitală modernă, sistemele video și de transmisie joacă un rol crucial într-o varietate de aplicații, de la supravegherea de securitate la transmiterea de conținut multimedia în timp real. Calitatea și fiabilitatea acestor sisteme sunt esențiale pentru asigurarea unei experiențe satisfăcătoare și pentru prevenirea pierderilor de date critice. Acest capitol se concentrează pe evaluarea performanțelor sistemelor video și de transmisie în condiții reale, oferind o analiză detaliată a calității și a erorilor de transmisie pe diferite distanțe.

3.1. Metodologia de testare

Metodologia noastră de testare a implicat aplicarea măsurătorilor la distanțe variate, beneficiind de condiții meteorologice favorabile pentru a minimiza variabilele externe. Testele au fost concepute pentru a evalua eficiența sistemului în diverse scenarii, excluzând interferențele generate de structuri arhitecturale sau alte obiecte voluminoase care ar putea afecta semnalul.



Figura 3.1. Configurația de măsurare

3.2. specificații Tehnice și Echipamente Utilizate

Pentru evaluarea performanței, am utilizat echipamente video avansate, inclusiv camere și transmițătoare specializate pentru sistemele FPV. Aceste echipamente au fost selectate pentru capacitatea lor de a transmite a semnale la distanțe mari cu o calitate ridicată, adaptându-se nevoilor specifice ale pilotajului dronelor.

3.3. Criterii de Evaluare

Criteriile noastre de evaluare au inclus calitatea imaginii transmise, stabilitatea și consistența semnalului în timp real, precum și rezistența la interferențe. S-a monitorizat și înregistrat performanța sistemului în diverse condiții de lumină, vreme, interferențe și în funcție de unghiul de transmisie.

În cadrul primului test, au fost colectate date ale sistemului video în condiții favorabile, fără vânt și fără prezența unor obiecte care să interfereze cu semnalul. Aceste condiții au permis obținerea următorului tabel de rezultate.

Tabelul 3.1. Măsurătorile video în condiții optime

Nr. test	Oră	Locație			Distanță	Eroare
		Latitudine	Longitudine	Altitudine		
1	10:58	46.041651	27.395793	68	0m	Calitatea video a fost foarte bună
2	11:02	46.041784	27.397882	72	162.4m	
3	11:05	46.041762	27.398515	75	211.1m	
4	11:08	46.041792	27.398876	77	239.2m	
5	11:12	46.041716	27.400674	103	380m	Calitate slabă

Pentru testul de radiocomandă, am efectuat măsurători în aceleași condiții favorabile, asigurându-ne că nu există interferențe semnificative din alte surse radio sau electromagnetice. Aceste condiții au permis evaluarea precisă a performanțelor radiocomenzii într-un mediu controlat, rezultând următorul tabel de rezultate.

Tabelul 3.2. Măsurătorile receptorului radio

Nr. test	Oră	Locație			Distanță	Eroare
		Latitudine	Longitudine	Altitudine		
1	11:24	46.041744	27.396756	69	75.3m	0%
2	11:27	46.041806	27.398555	67	230.1m	7%
3	11:28	46.041789	27.399084	81	270.9m	6%
4	11:29	46.041717	27.399904	90	334m	1%
5	11:31	46.041716	27.400674	103	393.6m	11%

În analiza datelor, se observă o tendință de scădere a erorii în funcție de altitudine în primele patru măsurători, chiar dacă distanța crește. Cu cât altitudinea crește, eroarea pare să fie mai mică, cu excepția ultimei măsurători. Acest fenomen sugerează că altitudinea înaltă facilitează captarea unui semnal mai bun și mai stabil. Totuși, la ultima măsurătoare, eroarea înregistrează o creștere semnificativă din cauza perturbațiilor create de copaci în apropiere.



Figura 3.2. Măsurarea vizuala a erorilor

3.4. Impactul Distanței și Factorii Ambientali

Rezultatele au evidențiat impactul semnificativ al distanței asupra calității video și a stabilității semnalului. În condiții ideale, sistemul a demonstrat o transmisie fiabilă și clară a imaginii la distanțe mari, însă în condiții mai puțin favorabile, cum ar fi vântul puternic sau condițiile meteorologice inadecvate, performanța sistemului a fost afectată în mod semnificativ.

Tabelul 3.3. Măsurătorile video in condiții neprielnice

Nr. test	Oră	Locație			Distanță	Eroare
		Latitudine	Longitudine	Altitudine		
1	18:24	46.041652	27.395590	69	0m	Calitatea video proastă, cu multe interferențe
2	17:57	46.041594	27.395942	70	28m	
3	18:14	46.041604	27.396443	70	66.2m	
4	18:19	46.041627	27.398555	75	229.5m	

În cadrul acestui set de măsurători, datele au fost colectate în condiții mai puțin favorabile, cu vânt puternic, ploaie și întuneric, care au afectat semnificativ calitatea video. La prima măsurătoare, calitatea video a fost foarte slabă, cu multe interferențe și fără distanță de transmisie efectivă. Pe măsură ce testele au continuat, s-a observat o îmbunătățire a distanței de transmisie, dar condițiile meteo nefavorabile și întunericul au continuat să degradeze calitatea imaginii. Deși altitudinea a crescut ușor în timpul măsurătorilor, impactul condițiilor meteo nefavorabile a rămas evident asupra performanței sistemului.



Figura 3.3. Perturbațiile provocate de vreme si obstacole

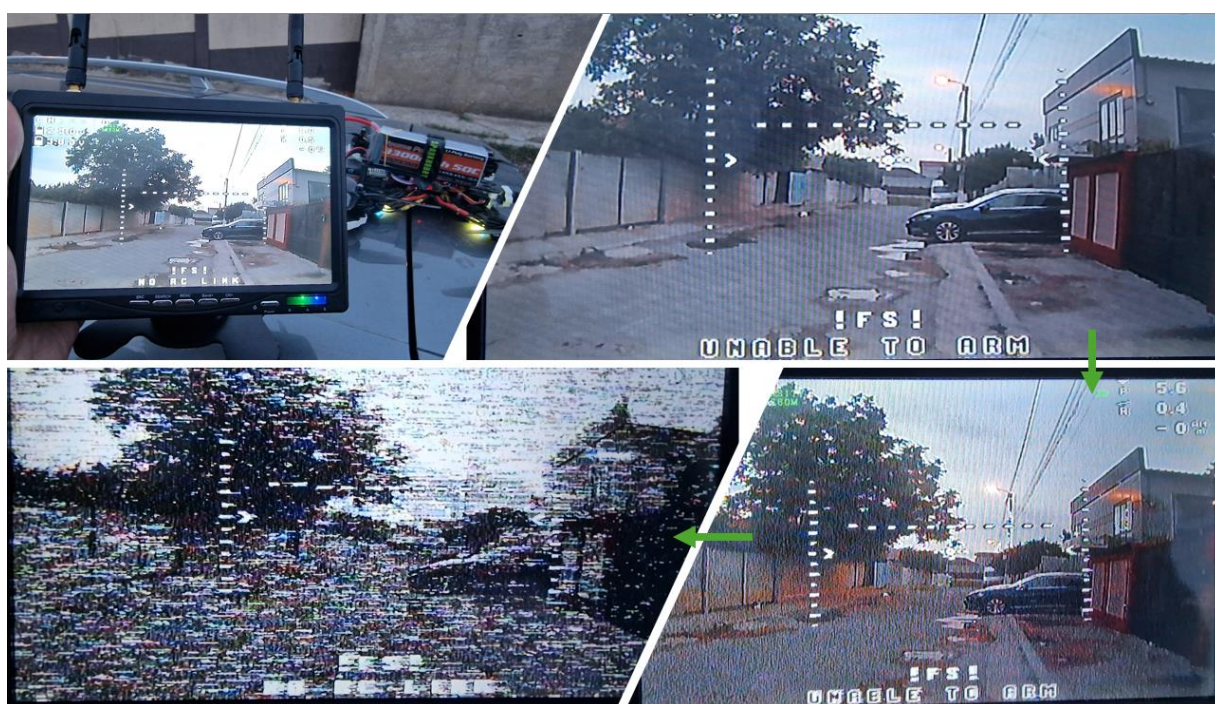


Figura 3.4. Comportamentul sistemului video in relație cu interferențele si pierderea de semnal

Fluxul video primit de monitor este observat în secțiuni la distanțe diferite. Imaginea din dreapta sus arată un flux video clar și stabil, cu detalii vizibile ale străzii, copacilor și structurilor din jur. Cu toate acestea, secțiunea de jos a imaginii prezintă o degradare semnificativă a semnalului, cu pixelare și pierdere a clarității vizuale, indicând interferențe sau limitări în domeniul de transmisie.

Diferența de calitate dintre secțiunile din dreapta sus și de jos demonstrează modul în care distanța și obstacolele de mediu afectează fluxul video al dronei. Pe măsură ce drona se îndepărtează de receptor, calitatea video se înrăutățește, afișând mai multe artefacte și întreruperi ale semnalului. Mediile urbane, cu numeroasele lor clădiri și sursele potențiale de interferență electromagnetică, agravează această problemă.

Figura 3.4. ilustrează dificultățile de a menține o transmisie video stabilă în zonele urbane. Scăderea calității pe măsură ce distanța crește evidențiază importanța sistemelor de transmisie puternice și nevoia potențială de amplificatoare de semnal sau repetitoare pentru a garanta performanțe consistente în aceste setări.

3.5. Concluzii și Recomandări

În concluzie, acest studiu nu doar că a evaluat performanțele curente ale sistemelor testate, dar și a identificat punctele forte și limitările acestora în diverse scenarii practice. Înțelegerea detaliată a acestor aspecte este esențială pentru optimizarea și îmbunătățirea sistemelor video și de transmisie în viitor. De asemenea, acest capitol servește ca un ghid valoros pentru dezvoltarea și implementarea de soluții mai eficiente în domeniul transmisiilor video și pentru pregătirea piloților în contextul utilizării sistemelor FPV în condiții variate.

Prin urmare, integrarea acestor cunoștințe în practica de pilotaj poate contribui semnificativ la îmbunătățirea siguranței și performanței în utilizarea dronelor în diverse aplicații, de la filmări aeriene profesionale la inspecții industriale și operațiuni de salvare.

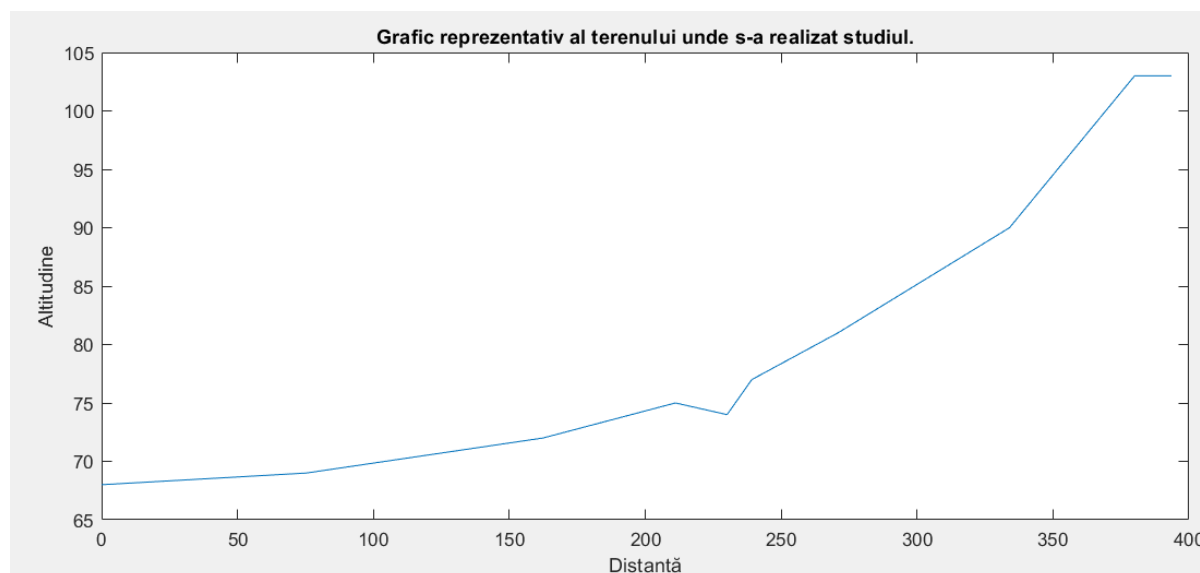


Figura 3.5. Graficul reprezentativ al terenului unde s-a realizat studiul

CAPITOLUL 4. PROIECTAREA SI IMPLEMENTAREA SOFTWARE

4.1. Sistemul de operare instalat pe Raspberry pi 4

Debian Bullseye este o opțiune excelentă pentru utilizatorii acestui mini-computer, oferind stabilitate și performanță ridicată. Debian Bullseye, versiunea 11 a sistemului de operare Debian, rulează eficient pe hardware-ul Raspberry Pi 4, care dispune de un procesor quad-core ARM Cortex-A72 și opțiuni de memorie RAM de 2GB, 4GB și 8GB. Sistemul include suport complet pentru USB 3.0, dual HDMI pentru ieșire 4K și Ethernet Gigabit.

Pentru a rula Debian Bullseye pe un Raspberry Pi 4, se recomandă utilizarea unui card microSD de înaltă calitate, de cel puțin 16GB, preferabil UHS-I sau superior, pentru viteze de citire și scriere mai mari. Carduri de 32GB sau 64GB sunt ideale pentru a asigura suficient spațiu de stocare și o experiență de utilizare eficientă.

Debian Bullseye suportă complet toate componentele hardware ale Raspberry Pi 4, asigurând o funcționare optimă și o integrare fără probleme. Include o gamă largă de pachete software actualizate, cum ar fi LibreOffice 7.0 și Python 3.9, facilitând dezvoltarea de aplicații, servere mici și proiecte multimedia.

În concluzie, Debian Bullseye pe Raspberry Pi 4 oferă o platformă robustă și versatilă, adecvată pentru o varietate largă de utilizări, de la educație și proiecte DIY la servere mici și media center.[21]

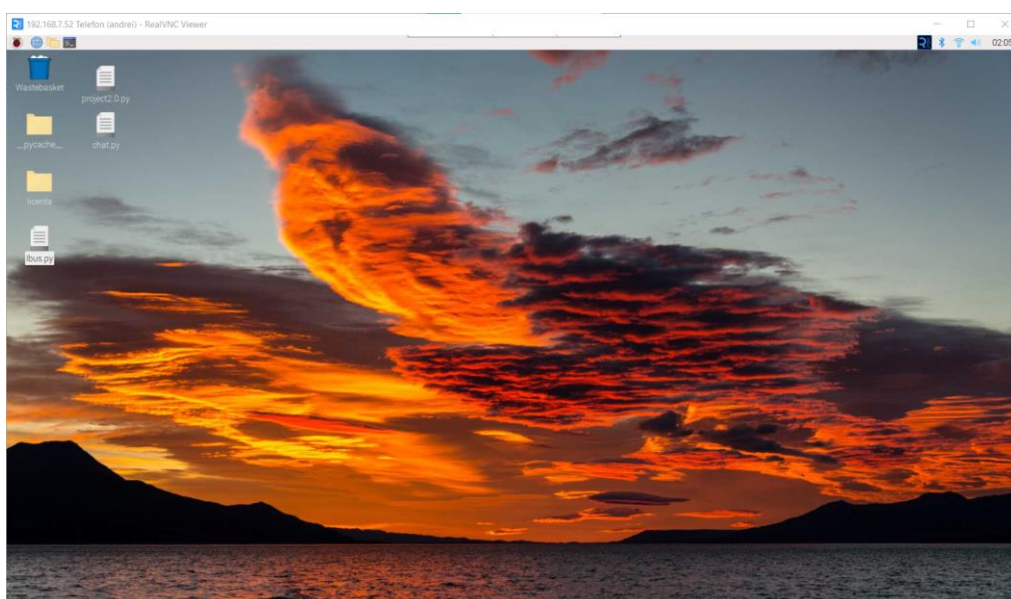


Figura 4.1. Debian Bullseye

4.2. Python 3.12.

Python este un limbaj de programare de nivel înalt care este interpretat, orientat pe obiecte și are o semantică dinamică. Structurile de date încorporate, tastarea dinamică și legarea dinamică îl fac ideal pentru dezvoltarea rapidă a aplicațiilor și ca limbaj de scripting pentru conectarea componentelor. Sintaxa Python este ușor de învățat și accentuează lizibilitatea, reducând costurile de întreținere a programului. Acceptă module și pachete pentru modularitatea programului și reutilizarea codului.

Interpretul Python și biblioteca standard sunt disponibile gratuit pe toate platformele majore în formă sursă sau binară.

Cea mai recentă versiune de Python, 3.12, aduce o multitudine de funcții noi și îmbunătățiri care îmbunătățesc gradul de utilizare, performanța și experiența generală a dezvoltatorului limbajului. Cu îmbunătățiri în sintaxa parametrilor de tip, mesaje de eroare și diverse module, Python 3.12 își consolidează reputația ca limbaj de programare versatil și robust.[22]

4.3. Măsurarea unghiului de rotație

4.3.1. Principiul de funcționare al giroscopului

Pentru stabilizarea quadcopterului, este nevoie de măsurători ale orientării tridimensionale. Pentru modul de control, este suficient să se cunoască vitezele de rotație pentru rulu (roll), tangaj (pitch) și girație (yaw). Un senzor care poate înregistra aceste viteze de rotație se numește giroscop.

Giroscopul folosit este inclus în MPU-6050, un senzor de orientare de cost redus. Deși nu este foarte precis, acuratețea sa este suficientă pentru a obține rezultate bune în echilibrarea dronei. Acesta va măsura viteza de rulu, tangaj și girație, adică nu va măsura unghiuri absolute în grade ($^{\circ}$), ci ratele unghiulare în grade pe secundă ($^{\circ}/s$). De exemplu, o viteză unghiulară de $60^{\circ}/s$ înseamnă că se rotește cu 60° în fiecare secundă și va efectua o rotație completă de 360° în 6 secunde ($360^{\circ} / 60^{\circ}/s$). Pentru a menține vehiculul aeronautic fără pilot în echilibru, viteza unghiulară trebuie să fie $0^{\circ}/s$. [22]

- O rotație de rulu înseamnă rotirea în sensul acelor de ceasornic în jurul axei X a giroscopului.
- O rotație de tangaj reprezintă rotirea în sensul acelor de ceasornic în jurul axei Y a giroscopului.
- O rotație de girație semnifică rotirea în sens invers acelor de ceasornic în jurul axei Z a giroscopului.

Trebuie să se observe că axele X și Y și direcțiile lor de rotație sunt scrise fizic pe senzorul MPU-6050. Atunci când se construiește drona și se fixează senzorul, trebuie să se asigure întotdeauna că axele scrise pe senzor sunt aliniate cu axele de rulu, tangaj și girație ale aeronavei.

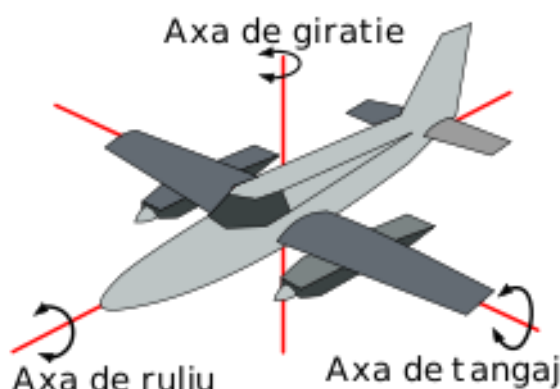


Figura 4.2. Axele de rotație a unei aeronave [23]

4.3.2. Protocolul I2C

Inter-Integrated Circuit (I2C) este un protocol de interfață de magistrală, fiind încorporat în dispozitive pentru comunicații seriale dezvoltat inițial de corporația Phillips pentru utilizarea în produse de consum. Este bidirecțional, ușor de implementat în orice proces IC (NMOS, CMOS, bipolar) și permite o comunicare simplă între circuitele integrate. Conexiunile sunt minimizate folosind o linie de date serială (SDA), o linie de ceas serială (SCL) și o masă comună pentru a transporta toate comunicațiile. I2C a câștigat o acceptare largă și a servit chiar ca prototip pentru System Management Bus (SMBus), care este un subset al acestuia.

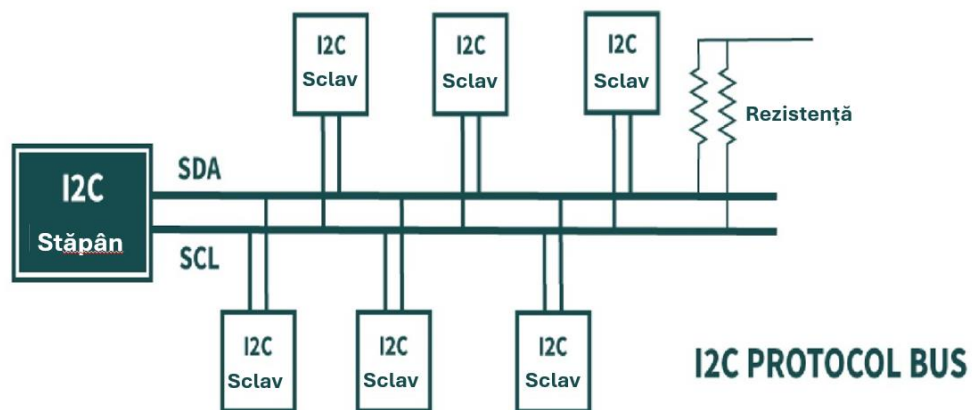


Figura 4.3. Modul de funcționare Master Slave al protocolului I2C [24]

Pentru a activa I2C pe un Raspberry Pi, utilizatorul trebuie să deschidă terminalul și să ruleze comanda „*sudo raspi-config*”.

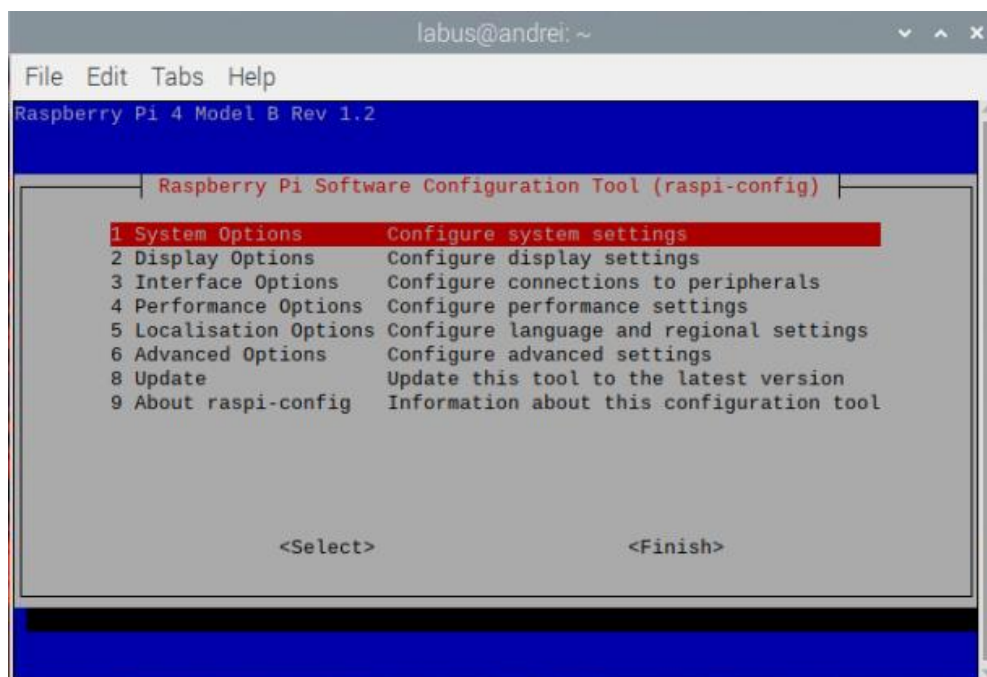


Figura 4.4. Ecranul de configurare al setărilor

Apoi, trebuie să navigheze la „*Interfacing Options*”, să selecteze „*I2C*” și să aleagă „*Yes*” pentru a activa interfața.

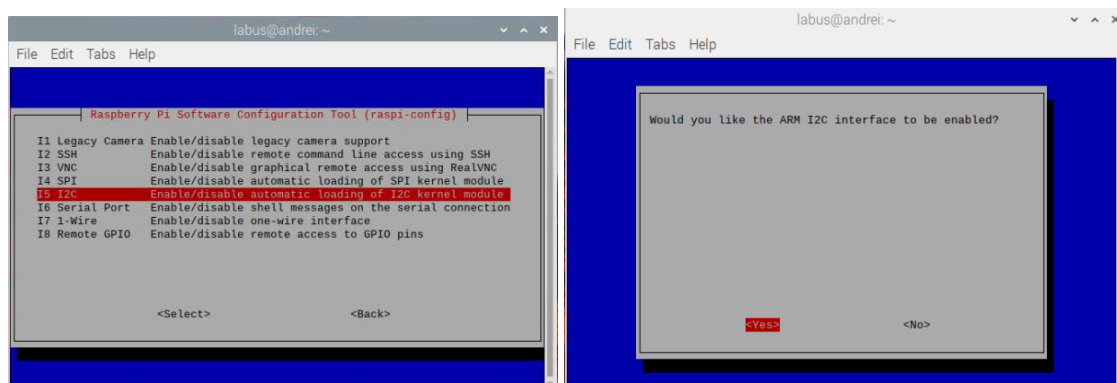


Figura 4.5. Pașii de activare a protocolului I2C

După confirmare și ieșirea din configurare, plăcuța trebuie repornită. După repornire, utilizatorul poate instala utilitarele I2C folosind comanda „*sudo apt-get install -y i2c-tools*”. Pentru a verifica dacă I2C este activ, se rulează comanda „*lsmod | grep i2c*”, iar modulele I2C încărcate vor fi afișate. [25]

Comanda „*i2cdetect -y 1*” este utilizată pe sistemele Linux pentru a scana și detecta dispozitivele conectate pe magistrala I2C. Aceasta face parte din pachetul *i2c-tools*, argumentul *-y* oprește solicitarea de confirmare interactivă permițând comenzii să ruleze fără intervenția utilizatorului, iar numărul 1 specifică magistrala I2C pe care se efectuează scanarea. Comanda returnează un tabel cu adresele dispozitivelor I2C detectate indicându-le prin adresele lor hexazecimale aceasta este utilă pentru diagnosticarea și configurarea dispozitivelor I2C conectate.

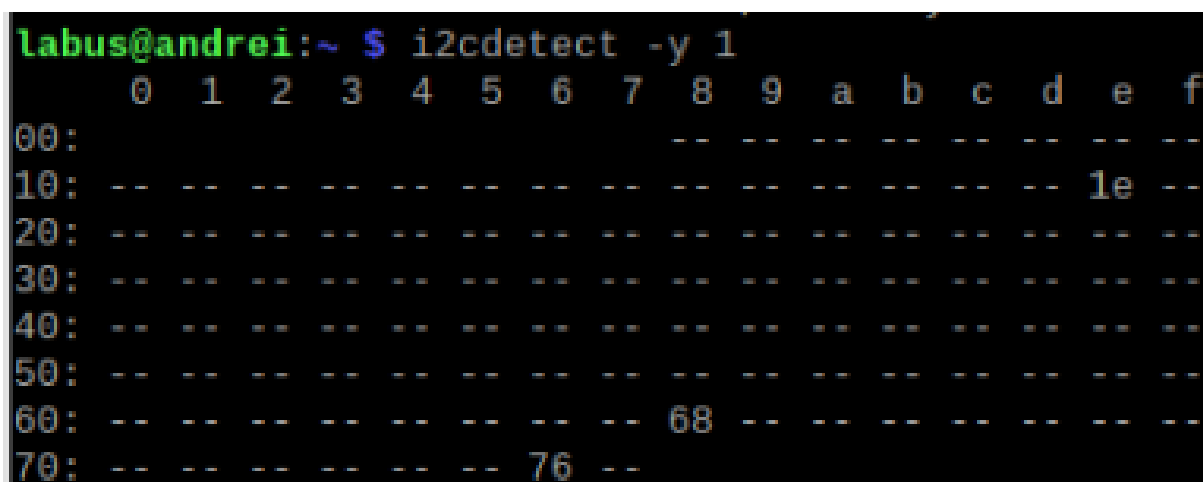


Figura 4.6. Lista senzorilor conectați prin protocolul I2C

4.3.3. Primul pas pentru măsurarea unghiurilor

Acest program folosește direct adresele de memorie ale registrelor MPU6050 pentru a citi și scrie date, în locul unei biblioteci de nivel înalt. Această abordare permite un control precis asupra senzorului și optimizează timpul de execuție, reducând latența. Utilizarea directă a adreselor de memorie sporește eficiența și rapiditatea codului, fiind esențiale pentru aplicațiile care necesită actualizări frecvente ale datelor.

Astfel, în program apar adresele mai multor senzori sub forma:

```
# Regiștrii MPU6050
PWR_MGMT_1 = 0x6B    # Registru pentru gestionarea puterii
SMPLRT_DIV = 0x19    # Registru pentru divizarea ratei de eșantionare
CONFIG = 0x1A        # Registru pentru configurația generală
GYRO_CONFIG = 0x1B   # Registru pentru configurația giroscopului
INT_ENABLE = 0x38    # Registru pentru activarea întreruperilor
ACCEL_XOUT_H = 0x3B   # Citirea valorii axei X a accelerometrului
ACCEL_YOUT_H = 0x3D   # Citirea valorii axei Y a accelerometrului
ACCEL_ZOUT_H = 0x3F   # Citirea valorii axei Z a accelerometrului
GYRO_XOUT_H = 0x43
GYRO_YOUT_H = 0x45
GYRO_ZOUT_H = 0x47
#Adresa de memorie a senzorului
Device_Address = 0x68
```

Funcția „*read_raw_data(addr)*” citește date brute de la senzorul MPU6050 prin magistrala I2C și este esențială pentru obținerea valorilor necomplete ale accelerometrului și giroscopului.

```
def read_raw_data(addr):
    high = bus.read_byte_data(Device_Address, addr)
    low = bus.read_byte_data(Device_Address, addr + 1)
    value = ((high << 8) | low)
    if value > 32768:
        value -= 65536
    return value
```

Această funcție utilizează „*bus.read_byte_data*” pentru a citi doi biți consecutivi de la adresa specificată *addr*. Apoi, valorile sunt combinate într-un singur întreg de 16 biți (*value*). Dacă valoarea este negativă (adică depășește 32768), este ajustată pentru a respecta formatul de complement la 2.

În acest mod se pot citi datele neprelucrate ale accelerometrului și giroscopului.

Pentru a interpreta corect datele de la accelerometru și giroscop, a fost necesară prelucrarea măsurătorilor inițiale ale senzorilor prin împărțirea acestora la factorul de sensibilitate corespunzător fiecărei componente. Astfel, datele de la accelerometru au fost normalizate prin împărțirea lor cu 16384, în timp ce datele de la giroscop au fost ajustate prin împărțirea lor cu 131.

```

Ax = acc_x/16384.0 #Intervalul complet de +/- 250 de grade
Ay = acc_y/16384.0
Az = acc_z/16384.0
Gx = gyro_x/131.0
Gy = gyro_y/131.0
Gz = gyro_z/131.0

```

Pentru a progresa de la simpla măsurare a rotațiilor sau accelerării pe secundă, este necesar să se măsoare și să se integreze valorile în timpul dintre cicluri pentru a calcula unghiurile și distanțele corespunzătoare.

```

Time = dateDateTimeNow - LastTime
GPitch = GPitch + Time * Gy * 8.01
GRoll = GRoll + Time * Gx * 8.01

```

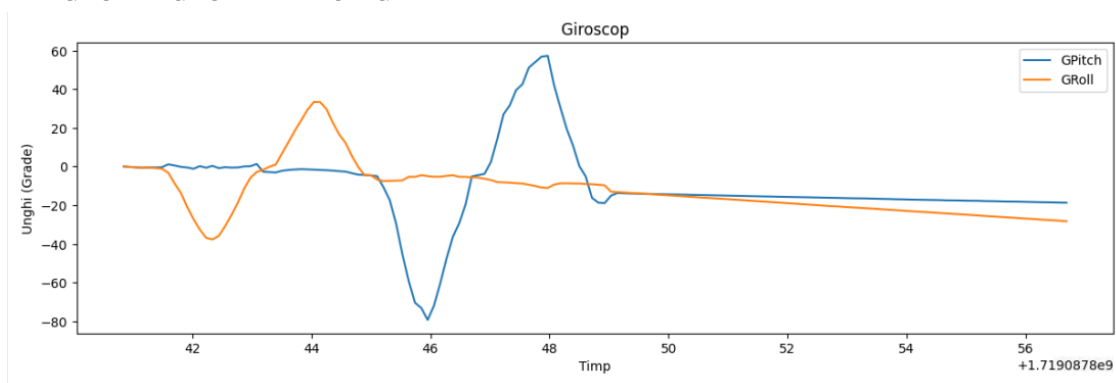


Figura 4.7. Citirea unghiurilor cu ajutorul giroscopului

Odată ce s-a reușit calcularea unghiului sistemului, s-a decis să se adopte un filtru complementar pentru a îmbunătăți precizia sistemului. Acest filtru complementar este conceput pentru a corecta erorile cumulative care apar din integrarea repetată a micilor erori de măsurare ale senzorului giroscopic. El combină avantajele filtrului trece-jos, care reduce zgomotul semnalului inițial, cu capacitatea de a ajusta și de a corecta erorile de lungă durată care pot afecta măsurătorile în timp. Astfel, utilizarea unui filtru complementar contribuie la asigurarea unei monitorizări mai precise și mai stabile a accelerațiilor și rotațiilor sistemului.

```

def Dist(a,b):
    return math.sqrt((a*a)+(b*b));
def Get_y_rotation(x,y,z):
    radians = math.atan2(y, Dist(x,z))
    return math.degrees(radians);
def Get_x_rotation(x,y,z):
    radians = math.atan2(x, Dist(y,z))
    return -math.degrees(radians);
APitch = Get_x_rotation( Ax, Ay, Az )
ARoll = Get_y_rotation( Ax, Ay, Az )

```

$$Pitch = K * GPitch + K1 * APitch$$

$$Roll = K * GRoll + K1 * ARoll$$

Unde K este o constantă cu valoarea de $K = 0.98$, iar $K1 = 0.02$, de unde provine numele de filtru complementar.

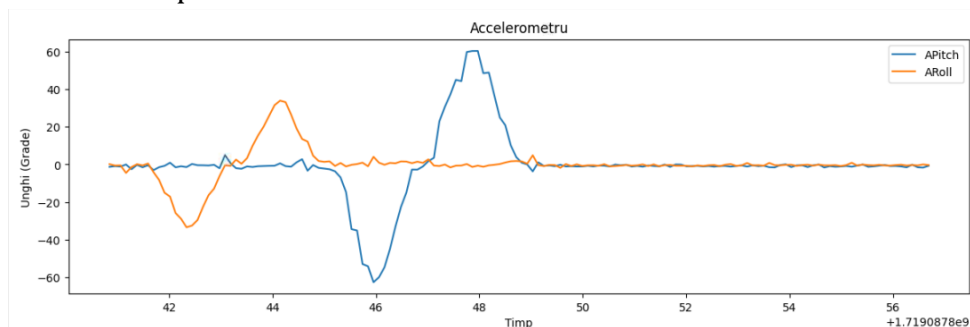


Figura 4.8. Citirea unghiurilor cu ajutorul accelerometrului

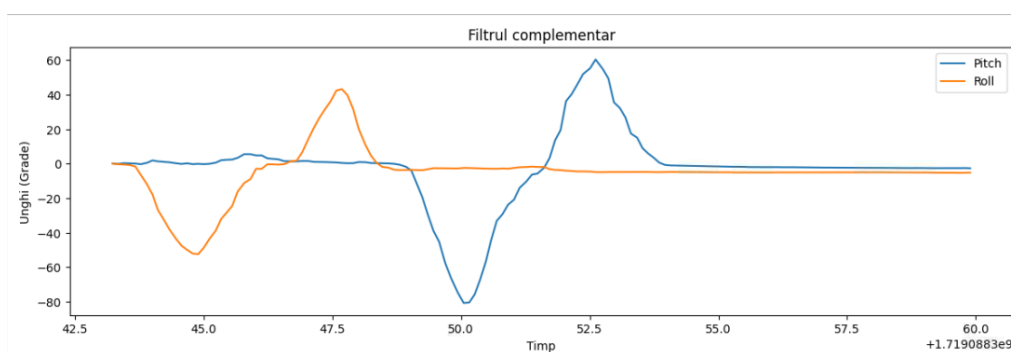


Figura 4.9. Filtru complementar

Chiar dacă s-a observat o reducere semnificativă a zgomotului semnalelor, s-a observat o eroare considerabilă. Pentru a îmbunătăți precizia măsurărilor, s-a decis implementarea unui filtru trece-jos. Acest filtru a fost folosit pentru a elimina zgomotul din semnalul senzorului MPU6050, asigurând o măsurare stabilă și exactă a accelerațiilor și rotațiilor, reducând fluctuațiile și interferențele din datele obținute.

`LOWPASSFILTER= 26`

`bus.write_byte_data(Device_Address, LOWPASSFILTER, 5)`

Giroscopul este un senzor foarte sensibil și citirile sale sunt afectate drastic de vibrațiile cauzate de motoarele fără perii. Rata de eșantionare a giroscopului este egală cu 8 kHz, ceea ce corespunde unei măsurători la fiecare $1/8000 = 0.000125$ secunde.

Vibrațiile de înaltă frecvență de la motoare provocă accelerații mici, dar foarte rapide ale cadrului quadcopterului, care sunt înregistrate de giroscop. Cu cât motoarele se rotesc mai repede, cu atât vibrațiile devin mai mari. În toate cazurile măsurate, quadcopterul a rămas staționar pe sol, astfel încât rata de rotație ar trebui să fie egală cu $0^\circ/\text{s}$. Din figură observați că odată ce motoarele sunt pornite, valorile nefiltrate ale giroscopului încep să fluctueze foarte mult. Este clar că devine imposibil de stabilizat quadcopterul cu valori de măsurare care variază în timp ce el însuși rămâne staționar și rata reală de rotație este egală cu $0^\circ/\text{s}$.

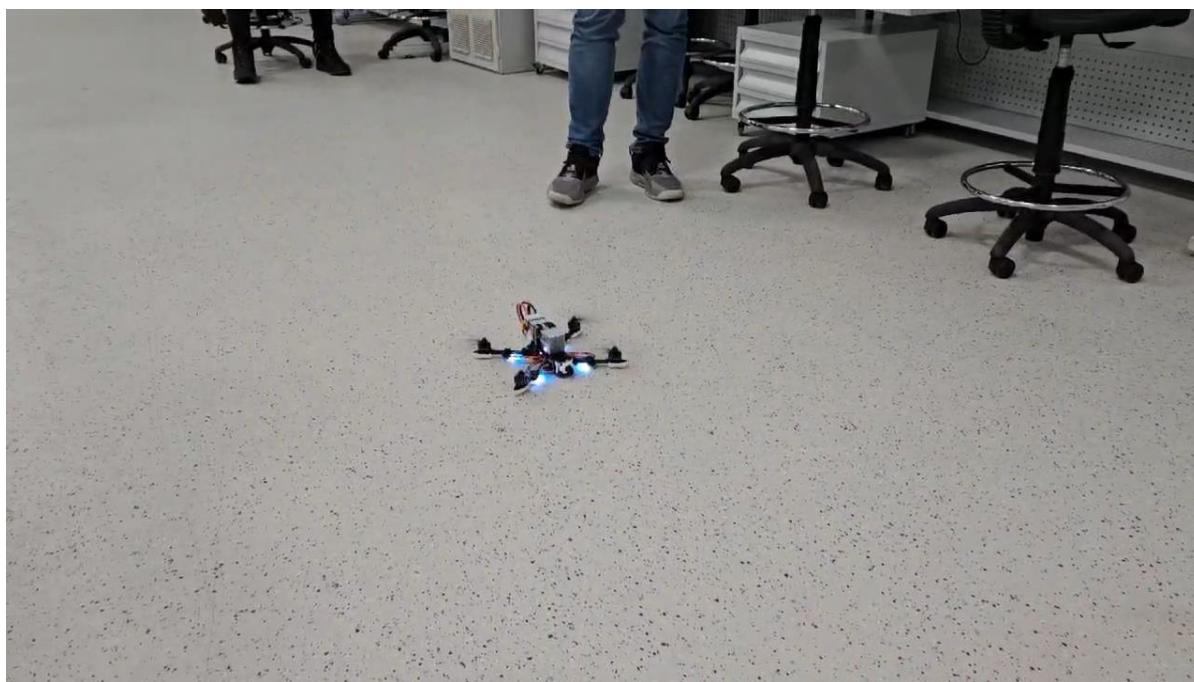


Figura 4.10. Drona în poziție staționară

Pentru a rezolva această problemă, s-a utilizat filtrul trece-jos cu o frecvență de tăiere de 10 Hz. Filtrul atenuează măsurătorile senzorului cu o frecvență de 10 Hz și mai mare. Acest lucru înseamnă că variațiile senzorului care au loc mai repede de $1/10=0.1$ secunde vor avea doar un impact limitat asupra valorilor finale de măsurare. Valoarea de 10 Hz este aleasă prin încercări și erori în timpul testării quadcopterului, iar frecvențele de vibrație ale motorului se schimbă cu fiecare motor fără perii și amortizarea vibrației depinde de întregul cadru. Linia albastră din figura 4.11. arată valorile filtrate, acestea nu sunt afectate de vibrațiile cauzate de motoarele fără perii și sunt astfel potrivite pentru controlerul de zbor.

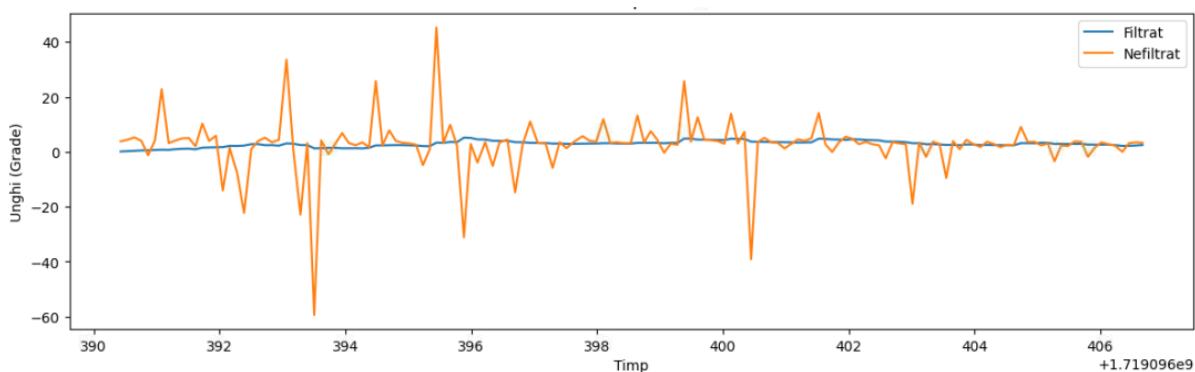


Figura 4.11. Citirea datelor cu ajutorul filtrului trece-jos

Deoarece existau erori chiar și în cazul utilizării filtrului complementar, s-a decis dezvoltarea unui program suplimentar pentru calcularea offset-ului citirilor senzorului. Programul de calculare a offset-ului funcționează prin efectuarea următoarelor etape:

Citirea valorilor de la accelerometru și giroscop de 100 de ori pentru fiecare axă (X, Y și Z). Aceasta asigură o colectare robustă a datelor, capturând variațiile minore și eliminând anomaliile. Fiecare citire este efectuată la un interval de timp constant, cunoscut sub numele de perioadă de eșantionare. Aceasta permite senzorului să stabilizeze și să furnizeze date precise fără suprapunerea sau duplicarea citirilor.

După colectarea celor 100 de citiri pentru fiecare axă, programul calculează media aritmetică a acestor valori. Media aritmetică se obține prin însumarea tuturor valorilor citite și împărțirea rezultatului la numărul de citiri (100 în acest caz). Această valoare medie este apoi utilizată pentru a compensa citirile în programul principal, îmbunătățind astfel calibrările și precizia măsurărilor efectuate de senzorul MPU6050.

Foarte important este ca în momentul rulării programului de stabilire a offset-ului să nu existe ventilatoare pornite, muzică sau orice alte obiecte ce ar putea interfera cu senzorii.

$Axoffset = Axoffset / iterations$

$Ayoffset = Ayoffset / iterations$

$Azoffset = Azoffset / iterations$

$Gxoffset = Gxoffset / iterations$

$Gyoffset = Gyoffset / iterations$

$Gzoffset = Gzoffset / iterations$

SYSTEM NOTIFICATION 10.0 seconds calibration

Axoffset=0.02 °/s

Ayoffset=-0.01 °/s

Azoffset=1.01 °/s

Gxoffset=-0.22 g

Gyoffset=-0.08 g

Gzoffset=-0.15 g

>>>

Figura 4.12. Rezultatul calibrării senzorului MPU6050

4.4. Filtrul Kalman

4.4.1. Introducere

Filtrul Kalman și filtrul complementar sunt două abordări diferite utilizate în fuziunea datelor senzorilor pentru a estima starea unui sistem. Deși ambele metode sunt utilizate, în mod obișnuit, în aplicațiile de navigație și control, filtrul Kalman este cunoscut pentru capacitatea sa de a oferi estimări mai precise și mai fiabile, chiar și în prezența variabilității măsurătorilor și a zgomotului.

Filtrul Kalman funcționează folosind un model matematic al sistemului și combinând predicțiile bazate pe acest model cu măsurători în timp real într-o manieră recursivă. Acest lucru permite ajustarea continuă a estimărilor bazate atât pe datele trecute, cât și pe cele actuale, menținând un echilibru optim între predicții și corecții. Pe de altă parte, filtrul complementar combină direct măsurătorile senzorilor fără a utiliza un model matematic al sistemului. Acest lucru poate duce la estimări mai simple, care sunt mai predispuse la erori, mai ales atunci când există o variabilitate mare de măsurare sau schimbări bruște în mediul de măsurare.

Pe scurt, filtrul Kalman excelează în integrarea eficientă a datelor senzorilor prin utilizarea unui model matematic al sistemului și actualizarea continuă a estimărilor pe baza noilor măsurători. Acest lucru îl face alegerea preferată în aplicațiile în care acuratețea și robustețea estimării sunt cruciale, cum ar fi navigarea vehiculelor autonome sau sistemele de control de înaltă precizie.

Filtrul Kalman este un instrument matematic versatil utilizat pentru filtrarea și estimarea datelor în sistemele de navigație și alte aplicații cu măsurători zgomotoase și imprecise. Creat inițial de Rudolf Kalman în anii 1960 pentru a aborda provocările de filtrare și predicție în sistemele de control automat, principiile sale sunt fundamentale în procesarea semnalului, inteligența artificială și au aplicații ample în inginerie, informatică și economie.

Funcționând ca o metodă de filtrare recursivă, filtrul Kalman combină predicții bazate pe modele și măsurători în timp real pentru a genera estimări mai precise ale stării unui sistem. Funcționează optim pentru sistemele modelate ca procese liniare afectate de zgomot aleatoriu în măsurători.

Structura filtrului constă din doi pași principali: predicție și corecție. În etapa de predicție, sistemul folosește măsurătorile anterioare și cunoștințele despre comportamentul sistemului pentru a prognoza starea acestuia la următorul pas de timp. Această predicție este apoi ajustată în etapa de corecție folosind măsurători reale în timp real pentru a rafina estimările anterioare și pentru a produce o estimare mai precisă a stării curente a sistemului.

O caracteristică cheie a filtrului Kalman este capacitatea sa de a cântări în mod corespunzător măsurătorile și predicțiile pe baza incertitudinilor acestora

Filtrul Kalman derivat în proiect este adaptat pentru a prezice unghiul de rulu sau de înclinare, făcându-l un filtru unidimensional cu starea sistemului reprezentată de o singură valoare. Acest concept poate fi extins pentru a gestiona stările multidimensionale folosind vectori și matrici. Forma generală a filtrului Kalman este

furnizată mai jos și va fi utilizată pentru estimarea altitudinii quadcopterului în etapele ulterioare. În plus, valorile pentru toți vectorii și matricele sunt incluse pentru comparație. [26]

4.4.2. Stările sistemului

Predicția stării actuale a sistemului:

$$S(k)=F \cdot S(k-1)+G \cdot U(k)S(k) \quad (4.1)$$

- S = Vectorul de stare,
- F = matricea de tranziție a stărilor,
- G = matricea de control,
- U = variabilele de intrare.

Calcularea incertitudinii predicției:

$$P(k)=F \cdot P(k-1) \cdot FT+QP(k) \quad (4.2)$$

- P = vectorul de predicție a incertitudinii,
- Q = procesarea incertitudinii.

Calculați câștigul Kalman din incertitudini privind predicțiile și măsurătorile:

$$L(k)=H \cdot P(k) \cdot H^T+R \quad (4.3)$$

$$K=P(k) \cdot H^T/L(k) = P(k) \cdot H^T L(k)^{-1}$$

- L = matricea intermediară,
- K = câștigul Kalman,
- H = matricea de observație,
- R = măsurarea incertitudinii.

Actualizați starea prezisă a sistemului cu măsurarea stării prin câștigul Kalman:

$$S(k)=S(k)+K \cdot (M(k)-H \cdot S(k)) \quad (4.4)$$

- M = vectorul de măsurare

Actualizarea incertitudinii stării prezise:

$$P(k)=(I-K \cdot F) \cdot P(k) \quad (4.5)$$

- I = matricea unitate

Câștigul Kalman este o componentă crucială a filtrului Kalman. Determină semnificația predicției unghiului realizată prin integrarea giroscopului în raport cu unghiul măsurat obținut de la accelerometru. Valoarea câștigului se încadrează întotdeauna între zero și unu, deoarece acționează ca un factor de ponderare. Un câștig

Kalman mai mare acordă o importanță mai mare măsurării accelerometrului, în timp ce un câștig mai mic prioritizează predicția realizată prin integrarea ratei de rotație.

În cazul filtrului Kalman unghiular, câștigul evoluează în timp, așa cum este prezentat în figura 4.13. În esență, în timpul zborului, filtrul Kalman se bazează în principal pe predicția integrării giroscopului. Unghiurile de pas ale accelerometrului sunt utilizate pentru a se asigura că integrarea giroscopului nu se abate excesiv de la unghiurile de pas ale accelerometrului, prevenind deriva. Această metodă combină eficient punctele forte ale ambelor măsurători. [27][28]

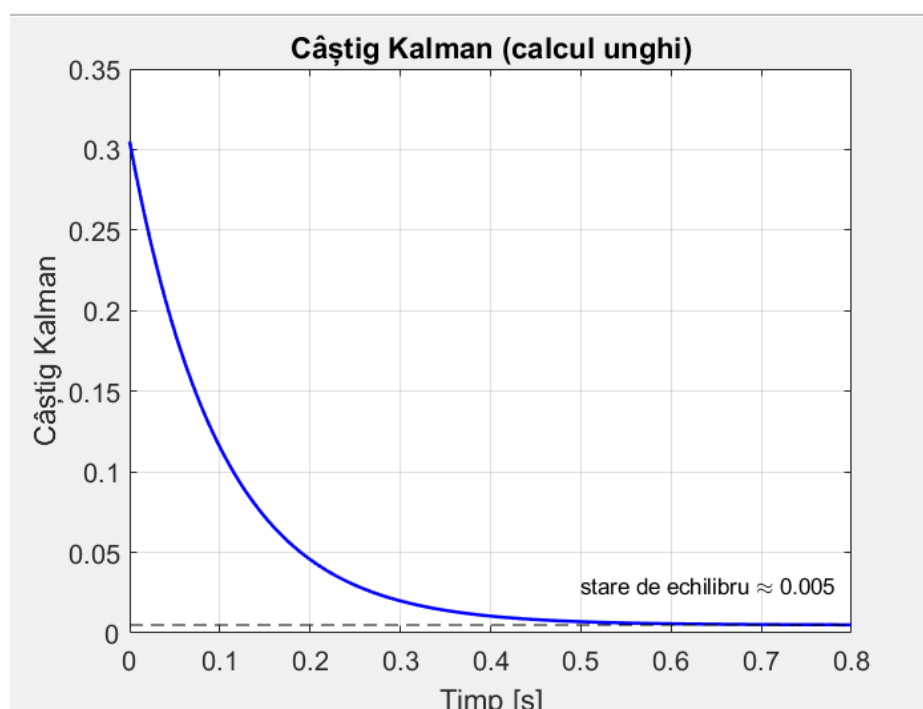


Figura 4.13. Câștigul Kalman in timp

La începutul graficului, câștigul Kalman are o valoare ridicată (aproximativ 0.3). Acest lucru indică faptul că, inițial, filtrul Kalman acordă o pondere mare măsurărilor noi pentru a corecta rapid orice erori inițiale din predicția stării sistemului.

Câștigul Kalman scade rapid la început și continuă să scadă într-un mod exponențial pe măsură ce timpul avansează. Aceasta este o caracteristică tipică a filtrului Kalman, unde importanța măsurărilor noi scade în timp, pe măsură ce estimarea stării devine mai precisă.

În jurul valorii de 0.6 secunde, câștigul Kalman atinge o stare de echilibru (steady state) în jurul valorii de 0.005. Aceasta înseamnă că, după o perioadă inițială de ajustare, câștigul rămâne constant, indicând faptul că filtrul Kalman și-a stabilizat estimarea și nu mai este necesară o ajustare majoră pe baza măsurărilor noi.

În starea de echilibru, câștigul Kalman mic indică faptul că modelul de predicție al sistemului este de încredere, iar măsurărilor noi au o influență redusă asupra estimării stării. Aceasta reflectă o încredere crescută în predicțiile modelului datorită acumulării de informații și ajustări repetate pe parcursul timpului.

4.4.3. Implementarea codului

Pasul de predicție actualizează unghiul și matricea de covarianță a erorii de predicție pe baza ratei giroscopului și a incertitudinilor procesului.

```
unghi += dt * rata_gyro # Actualizează unghiul estimat
P[0][0] += dt * (dt * P[1][1] - P[0][1] - P[1][0] + Q_unghi)
P[0][1] -= dt * P[1][1]
P[1][0] -= dt * P[1][1]
P[1][1] += Q_gyro * dt
# Se actualizează elementelor din matricea de covarianță a erorii de predicție
```

Pasul de actualizare calculează inovația și câștigul Kalman.

```
y = unghi - unghi # este zero pentru că măsurătoarea și predicția sunt aceleași
S = P[0][0] + R_unghi # suma incertitudinii predicției și a incertitudinii măsurătorii
K[0] = P[0][0] / S
K[1] = P[1][0] / S
# Calculul câștigului Kalman
```

Pasul de corecție ajustează unghiul și rata giroscopului pe baza câștigului Kalman și se actualizează matricea de covarianță a erorii de predicție.

```
rata_gyro -= unghi # Corecția ratei giroscopului pe baza unghiului estimat
unghi += K[1] * rata_gyro # Corecția finală a unghiului estimat pe baza ratei
giroscopului corectate și a câștigului Kalman
```

```
P00_temp = P[0][0]
P01_temp = P[0][1]
# Stocarea temporară a valorilor din matricea de covarianță a erorii de predicție
```

```
P[0][0] -= K[0] * P00_temp
P[0][1] -= K[0] * P01_temp
P[1][0] -= K[1] * P00_temp
P[1][1] -= K[1] * P01_temp
# Actualizarea elementelor din matricea de covarianță a erorii de predicție pe baza
câștigului Kalman și a valorii temporare
```

Aceste linii sunt utilizate în programul funcția `kalman_filter()`: care este apelată de funcția `get_pitch_roll()`: pentru a putea calcula unghiurile cu ajutorul senzorilor.

```
angle_pitch = kalman_filter(pitch, P_pitch, K_pitch, Q_angle, Q_gyro, R_angle, gyro_x)
angle_roll = kalman_filter(roll, P_roll, K_roll, Q_angle, Q_gyro, R_angle, gyro_y)
```

4.5. Măsurarea înălțimii

4.5.1. Senzorul barometric

Senzorii barometrici, cunoscuți și ca barometre, joacă un rol vital în măsurarea presiunii atmosferice. Acești senzori sunt esențiali în aplicații precum prognoza meteo, altimetria și sistemele de control al zborului, datorită capacității lor de a detecta mici modificări ale presiunii.

Conceptul principal din spatele senzorilor barometrici este că pe măsură ce altitudinea crește, presiunea atmosferică scade. Această relație permite ca citirile de presiune să fie utilizate pentru a estima altitudinea. Formula barometrică, care conectează presiunea atmosferică de altitudine, se bazează pe o temperatură standard de 15°C și o presiune standard la nivelul mării de 1013.25 hPa. Această formulă este esențială în determinarea altitudinii în diferite domenii, în special în aviație, unde citirile precise ale altitudinii sunt cruciale pentru zborul în siguranță. Formula generală a presiunii atmosferice:

$$P = P_0 \cdot \left(1 - \frac{L \cdot h}{T_0}\right)^{\frac{g \cdot M}{R \cdot L}} \quad (4.6)$$

unde:

P - este presiunea atmosferică la altitudinea h,

P0 - este presiunea atmosferică standard la nivelul mării (1013.25 hPa),

L - este rata de scădere a temperaturii (aproximativ 0.0065 °C/m),

h - este altitudinea deasupra nivelului mării,

T0 - este temperatura standard la nivelul mării (288.15 K),

g - este accelerația datorată gravitației (9.80665 m/s²),

M - este masa molară a aerului Pământului (0.0289644 kg/mol),

R - este constanta universală a gazelor (8.3144598 J/(mol·K)).

Senzorii barometrici sunt extrem de valoroși în controlerele de zbor pentru utilizarea lor practică. Au capacitatea remarcabilă de a detecta chiar și cele mai mici variații ale presiunii atmosferice. Această sensibilitate este crucială, deoarece permite senzorilor să ofere citiri de altitudine foarte precise. Aceste citiri sunt esențiale pentru gestionarea eficientă a traseelor de zbor și pentru asigurarea stabilității aeronavei.

Înainte de a fi vândut, fiecare senzor este calibrat de producător. Valorile de calibrare sunt stocate în memoria senzorului ca doisprezece parametri de reglare, cu trei pentru temperatură și nouă pentru presiune. Acești parametri sunt reprezentați ca numere întregi cu semn sau fără semn pe 16 biți, așa cum este specificat în fișa de date BMP-280.

O variabilă globală este definită pentru a reprezenta altitudinea măsurată de barometru, împreună cu altitudinea la pornire. Pentru a asigura o valoare stabilă pentru altitudine la pornire, este luată media unui număr mare de citiri de altitudine.

Adresa I2C pentru senzorul BMP-280 este setată la 0x76. Pentru a citi datele de presiune și temperatură, se inițiază o citire în rafală din registrele 0xF7 la 0xFC. Măsurătorile brute de temperatură și presiune sunt repartizate în trei registre fiecare. Sunt solicitați șase octeți pentru a citi aceste registre, iar datele sunt primite în format nesemnat pe 32 de biți.

Cele trei registre pentru temperatură și trei pentru presiune sunt combinate pentru a forma presiunea brută, necompensată și necalibrată și temperatura. Registrul de biți cel mai semnificativ conține biții de la 19 la 12, registrul de biți mai puțin semnificativ conține biții de la 11 la 4, iar registrul de biți de cel mai puțin semnificativ conține biții de la 3 la 0 ai măsurătorilor brute.

4.5.2. Implementarea software

Bibliotecile utilizate includ „*smbus2*” pentru comunicarea I2C, „*time*” pentru gestionarea temporizărilor și „*math*” pentru operațiuni matematice. Adresa I2C implicită și registrele specifice ale senzorului sunt definite pentru a facilita accesul la funcționalitățile senzorului.

```
# Adresa implicită I2C pentru BMP280
BMP280_I2C_ADDR = 0x76
```

```
# Regiștrii BMP280
BMP280_REG_DIG_T1 = 0x88
BMP280_REG_DIG_T2 = 0x8A
.....
BMP280_REG_TEMPDATA = 0xFA
```

```
# Constantele senzorului
BMP280_CHIPID = 0x58
```

Aceste constante definesc adresa și registrele senzorului BMP280, necesare pentru comunicarea și citirea datelor de la senzor.

```
def write_register(reg, value):
    bus.write_byte_data(BMP280_I2C_ADDR, reg, value)
```

Funcția „*write_register*” este utilizată pentru a scrie un byte într-un registru specificat, configurând astfel senzorul.

Funcțiile „*read_unsigned_short*” și „*read_signed_short*” sunt utilizate pentru a citi valori de 16 biți din registrele senzorului. Aceste valori pot fi semnate sau nesemnate, în funcție de registrele specifice.

```
def read_calibration_data():
    """Citește datele de calibrare de la senzorul BMP280."""
    cal = {}
    cal['dig_T1'] = read_unsigned_short(BMP280_REG_DIG_T1)
    .....
    cal['dig_P9'] = read_signed_short(BMP280_REG_DIG_P9)
    return cal
```

Funcția „*configure_sensor*” inițializează și configurează senzorul, verificând ID-ul cipului și setând registrele de control și configurare.

```
def read_raw_data():
    data = bus.read_i2c_block_data(BMP280_I2C_ADDR,
    BMP280_REG_PRESSUREDATA, 6)
    raw_temp = (data[3] << 12) | (data[4] << 4) | (data[5] >> 4)
    raw_press = (data[0] << 12) | (data[1] << 4) | (data[2] >> 4)
    return raw_temp, raw_press
```

Această funcție citește datele brute de temperatură și presiune de la senzor.

Compensarea temperaturii și presiunii implică utilizarea datelor brute și a datelor de calibrare pentru a calcula valorile reale de temperatură și presiune.

```
def compensate_temperature(raw_temp, cal):
    """Compensează temperatura brută folosind datele de calibrare."""
    var1 = (raw_temp / 16384.0 - cal['dig_T1'] / 1024.0) * cal['dig_T2']
    var2 = ((raw_temp / 131072.0 - cal['dig_T1'] / 8192.0) ** 2) * cal['dig_T3']
    t_fine = var1 + var2
    temp = var1 + var2
    return t_fine, temp / 5120.0

def compensate_pressure(raw_press, t_fine, cal):
    """Compensează presiunea brută folosind datele de calibrare."""
    var1 = (t_fine / 2.0) - 64000.0
    var2 = var1 * var1 * cal['dig_P6'] / 32768.0
    var2 = var2 + var1 * cal['dig_P5'] * 2.0
    var2 = (var2 / 4.0) + (cal['dig_P4'] * 65536.0)
    var1 = (cal['dig_P3'] * var1 * var1 / 524288.0 + cal['dig_P2'] * var1) / 524288.0
    var1 = (1.0 + var1 / 32768.0) * cal['dig_P1']
```

```

if var1 == 0:
    return 0 # Evită diviziunea la zero
pressure = 1048576.0 - raw_press
pressure = (pressure - (var2 / 4096.0)) * 6250.0 / var1
var1 = cal['dig_P9'] * pressure * pressure / 2147483648.0
var2 = pressure * cal['dig_P8'] / 32768.0
pressure = pressure + (var1 + var2 + cal['dig_P7']) / 16.0
return pressure / 100.0

```

Funcția „*calculate_altitude*” calculează altitudinea utilizând formula barometrică, pe baza presiunii atmosferice și a presiunii la nivelul mării.

```

def calculate_altitude(pressure, sea_level_pressure=1013.25):
    altitude = 44330.0 * (1.0 - (pressure / sea_level_pressure) ** (1.0 / 5.255))
    return altitude

```

Acest program oferă rezultate precise pentru măsurarea altitudinilor mari, fiind util în aplicații de aviație și navigație montană. Cu toate acestea, la altitudini mici, poate prezenta erori de aproximativ 50 de centimetri. Aceste erori vor fi compensate ulterior prin algoritmi de corecție suplimentari, asigurând astfel acuratețea necesară în toate condițiile.

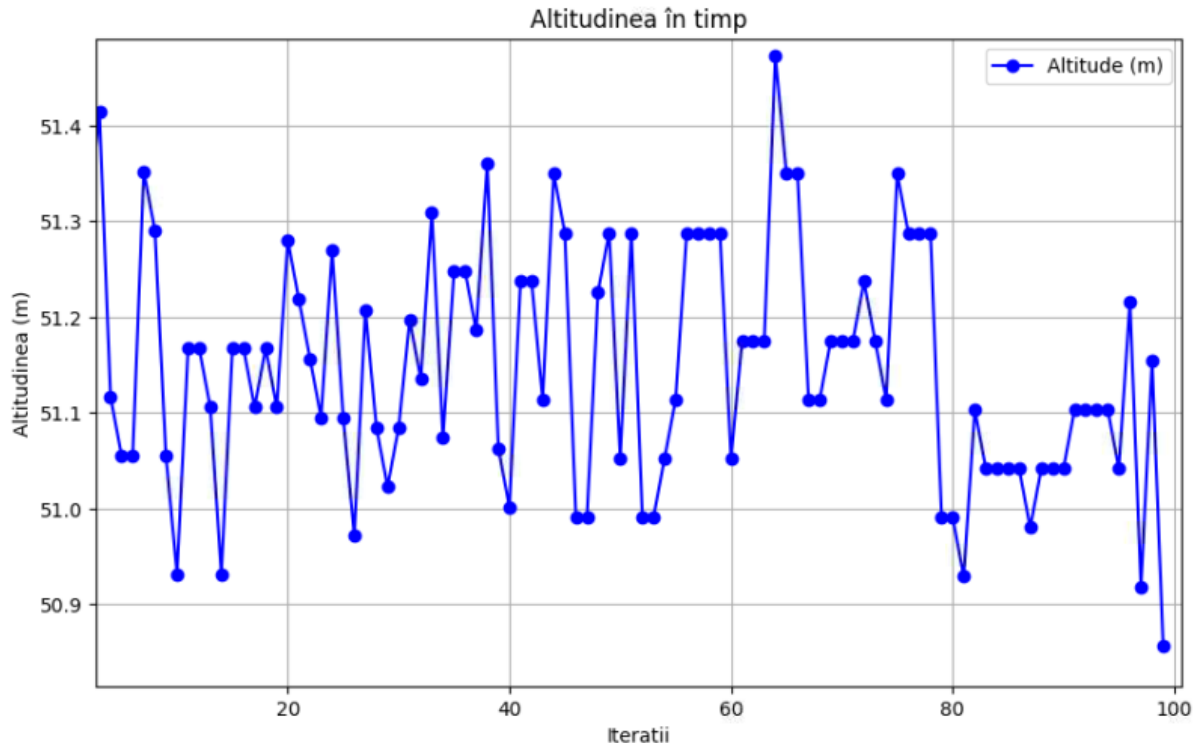


Figura 4.14. Graficul măsurătorilor altitudinii

4.5.3. Accelerometrul

Calcularea vitezei verticale a unui quadcopter se bazează în mare măsură pe accelerația de-a lungul axei Z inerțiale. Această accelerație, denumită $AccZ_{Inertial}$, este determinată folosind citirile accelerometrului și orientările unghiulare.

$$AccZ_{Inertial} = -A_x \cdot \sin\left(\text{Pitch} \cdot \frac{\pi}{180}\right) + A_y \cdot \cos\left(\text{Pitch} \cdot \frac{\pi}{180}\right) \cdot \sin\left(\text{Roll} \cdot \frac{\pi}{180}\right) + A_z \cdot \cos\left(\text{Pitch} \cdot \frac{\pi}{180}\right) \cdot \cos\left(\text{Roll} \cdot \frac{\pi}{180}\right) \quad (4.7)$$

Unde A_x , A_y și A_z sunt citirile accelerometrului ajustate pentru decalaje, iar Pitch și Roll sunt orientările unghiulare ale quadcopterului convertite în radiani.

După calcularea $AccZ_{Inertial}$, acesta este ajustat prin scăderea a 1 g (echivalent cu 9.81 m/s^2) pentru a corecta accelerația gravitațională. Se utilizează și o scalare suplimentară cu 10, care transformă accelerația în m/s^2 , care este apoi înmulțită cu 100 cm/m în scopuri practice, obținând accelerația în cm/s^2 .

$$AccZ_{Inertial} = (AccZ_{Inertial} - 1) * 9.81 * 10 \quad (4.8.)$$

Pentru a determina viteza verticală VZ, accelerația $AccZ_{Inertial}$ este integrată pe intervale de timp (de obicei 0.005 secunde) pentru a actualiza continuu estimarea vitezei. Acest proces de integrare este crucial pentru obținerea de măsurători precise în timp real ale mișcării verticale a quadcopterului, asigurând control precis și stabilitate.

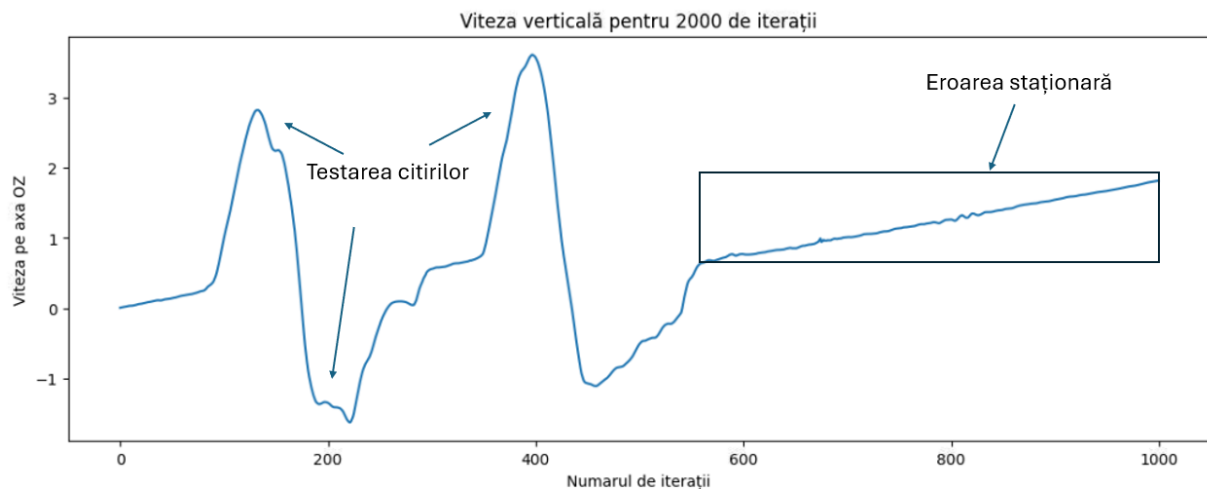


Figura 4.15. Graficul măsurătorilor altitudinii cu ajutorul accelerometrului

4.5.4. Senzorul ultrasonic

Implementarea unui sistem de senzori cu ultrasunete folosind un Raspberry Pi presupune configurarea hardware-ului, codificarea comportamentului senzorului și asigurarea unor măsurători precise ale distanței. Această secțiune elucidează codul și logica din spatele sistemului, subliniind configurarea, mecanismul de citire și procesarea datelor pentru a obține citiri de distanță fiabile.

Senzorul ultrasonic utilizat în această implementare este interfațat cu Raspberry Pi folosind doi pini GPIO: un pin de declanșare și un pin de echo. Senzorul funcționează prin emiterea de unde ultrasonice și măsurarea timpului necesar pentru ca ecoul să revină după ce sare de pe un obiect. Distanța până la obiect este apoi calculată pe baza vitezei sunetului.

Codul începe cu importarea modulelor necesare și definirea clasei `UltrasonicSensor`:

```
import RPi.GPIO as GPIO
import time
import statistics
```

Metoda `__init__` setează pinii GPIO și pregătește senzorul pentru funcționare:

```
class UltrasonicSensor:
    def __init__(self, trigger_pin, echo_pin):
        self.GPIO_TRIGGER = trigger_pin
        self.GPIO_ECHO = echo_pin

        # Setarea pinilor GPIO
        GPIO.setmode(GPIO.BCM)
        GPIO.setup(self.GPIO_TRIGGER, GPIO.OUT)
        GPIO.setwarnings(False)
        GPIO.setup(self.GPIO_ECHO, GPIO.IN)
        GPIO.output(self.GPIO_TRIGGER, False)
        time.sleep(2) # lasă senzorul sa se stabilizeze
```

Modul GPIO este setat la BCM, iar pinul de declanșare este configurat ca o ieșire, în timp ce pinul ecou este o intrare. O scurtă întârziere permite senzorului să se stabilizeze înainte de a efectua măsurători.

Metoda `read_distance` declanșează senzorul, așteaptă ecoul și calculează distanța. Senzorul este declanșat prin setarea știftului de declanșare ridicat pentru o perioadă scurtă (10 microsecunde). Codul așteaptă apoi ca pinul echo să primească semnalul, marcând ora de începere și, ulterior, să scadă, marcând timpul de oprire. Distanța este calculată folosind timpul scurs și viteza sunetului.

Metoda de citire colectează mai multe eşantioane la distanță, filtrează valorile aberante și calculează distanța medie. Această metodă colectează un număr specificat de probe, calculează mediana și filtrează citirile care se abat semnificativ de la mediană (mai mare de 10%). Media distanțelor filtrate este apoi returnată ca măsurătoare finală.

Metoda de curățare asigură eliberarea corectă a resurselor GPIO:

```
def cleanup(self):  
    GPIO.cleanup()
```

Următorul fragment de cod demonstrează cum se utilizează clasa `UltrasonicSensor` într-o buclă de citire continuă:

```
if __name__ == "__main__":  
    try:  
        sensor = UltrasonicSensor(trigger_pin=4, echo_pin=17)  
        while True:  
            distance = sensor.read()  
            if distance is not None:  
                print("Distance:", distance, "cm")  
            else:  
                print("Failed to read distance")  
            time.sleep(0.2) # Se reduce întârzierea dintre citiri la 0,2 secunde  
    except KeyboardInterrupt:  
        sensor.cleanup()
```

Acest cod oferă o metodă robustă și fiabilă pentru măsurarea distanțelor folosind un senzor ultrasonic cu un Raspberry Pi. Prin declanșarea senzorului, captarea ecoului și filtrarea datelor, sistemul asigură măsurători precise și consistente ale distanțelor, potrivite pentru diverse aplicații în robotică și automatizare.

4.6. Controlul sistemului

4.6.1. Radiocomanda

Scriptul Python a furnizat interfețe cu un controler radio FS-iA6B printr-o conexiune serială folosind modulul `serial`. Scriptul citește datele canalului de la radio, le procesează, actualizează o altitudine de referință și înregistrează informațiile. Această secțiune include un fundal teoretic despre comunicarea în serie și discută despre implementarea scriptului.

Comunicarea în serie implică transmiterea datelor câte un bit pe un canal de comunicație. Este folosit în mod obișnuit în telecomunicații și conectarea perifericelor la computere. Parametrii importanți în comunicarea în serie includ rata de transmisie, paritatea, biții de oprire și formatul cadrului de date. Scriptul setează acești parametri pentru a se potrivi cu cerințele modulului FS-iA6B.

Scriptul începe prin configurarea modulului de logare în scopuri de depanare și apoi continuă cu definirea clasei `RadioController`, responsabilă cu gestionarea comunicației cu controlerul radio FS-iA6B.

```
import serial
import time
import logging

# Configurare logging
logging.basicConfig(level=logging.DEBUG, format='%(asctime)s - %(levelname)s - %(message)s')
```

Configurația de înregistrare este setată în prezent la nivelul `DEBUG`, permițând jurnalele complete ale operațiunilor scriptului.

La instanțiere, constructorul stabilește conexiunea serială și atribuie valori implicite datelor de canal și altitudinii de referință.

```
class RadioController:
    def __init__(self, serial_port="/dev/serial0", baudrate=115200):
        self.ser = serial.Serial(serial_port, baudrate)
        self.ser.parity = serial.PARITY_NONE
        self.ser.stopbits = serial.STOPBITS_ONE
        self.Reference_altitude = 0
        self.ch1, self.ch2, self.ch3, self.ch4, self.ch5, self.ch6 = 0, 0, 0, 0, 0, 0
```

În această setare, conexiunea serială este stabilită cu portul și rata de transmisie desemnate, iar paritatea și biții de oprire sunt ajustați în consecință. Datele canalului și altitudinea de referință sunt setate la valorile implicite.

Funcția `read_data` citește datele primite de la portul serial și le procesează atunci când este primit un cadru complet. Scriptul citește octeți din memoria tampon serial și îi adaugă într-un cadru. Dacă este detectat un cadru complet (cel puțin 32 de octeți, începând cu un anumit octet), acesta procesează cadrul pentru a extrage datele canalului și actualizează altitudinea de referință pe baza datelor canalului.

Funcția `_process_frame` extrage datele individuale ale canalului din cadru. Aceasta convertește secțiunile de octeți în numere întregi pentru fiecare canal și ajustează canalul 3 (`ch3`) după cum este necesar.

Funcția `_update_reference_altitude` actualizează altitudinea de referință pe baza valorii canalului 3, ajustând altitudinea de referință în mod incremental în funcție de intervalul în care se încadrează `ch3`.

Funcțiile `get_reference_altitude` și `get_channels_data` oferă acces la altitudinea de referință și, respectiv, datele de canal.

```
def get_reference_altitude(self):  
    return self.Reference_altitude
```

```
def get_channels_data(self):  
    return self.ch1, self.ch2, self.ch3, self.ch4, self.ch5, self.ch6
```

Metoda de curățare închide conexiunea serială.

```
def cleanup(self):  
    self.ser.close()
```

4.6.2. Multitasking sau Multithreading

Multitasking-ul în Python implică capacitatea unui sistem de operare de a gestiona mai multe sarcini simultan. Acest lucru poate fi realizat folosind modulul de multiprocessing, care permite crearea și gestionarea proceselor separate care rulează concomitent. Aceste procese funcționează independent pe diferite nuclee CPU, oferind un adevărat paralelism pe sistemele multi-core. Prin distribuirea sarcinilor legate de CPU pe mai multe procesoare, performanța și eficiența pot fi îmbunătățite. Mecanismele de comunicare între procese, cum ar fi cozile și conductele, sunt utilizate pentru a permite comunicarea între aceste procese independente.

Multithreading implică utilizarea mai multor fire într-un singur proces pentru a obține concurență. Thread-urile sunt ușoare și partajează același spațiu de memorie, făcându-le ideale pentru sarcini legate de I/O care implică așteptarea resurselor externe, cum ar fi sistemele de fișiere sau conexiunile de rețea. Modulul de threading al lui Python permite crearea și gestionarea thread-urilor. [29]

Cu toate acestea, este important să se ia în considerare Blocarea globală a interpretului (GIL) de la Python atunci când se lucrează cu multithreading. GIL asigură că doar un fir de execuție poate executa bytecode Python la un moment dat, chiar și pe sisteme cu mai multe nuclee. Această limitare înseamnă că multithreading-ul în Python nu oferă o execuție paralelă reală pentru sarcinile legate de CPU. În ciuda acestui fapt, poate fi în continuare eficient pentru sarcini care implică așteptarea finalizării operațiunilor I/O.

Implementarea multitasking-ului cu multiprocessing în Python permite citirea și procesarea simultană a datelor de la diverși senzori. Sistemul constă din procese separate pentru citirea datelor de la un senzor ultrasonic, un IMU, un senzor BMP280 și un controler radio. Datele fiecărui senzor sunt gestionate de propriul său proces.

```
if __name__ == "__main__":  
    queue = mp.Queue()  
  
    processes = [  
        mp.Process(target=read_ultrasonic, args=(queue,)),  
        mp.Process(target=read_imu_and_bmp, args=(queue,)),
```

```

    mp.Process(target=read_radio, args=(queue,)),
    mp.Process(target=process_data, args=(queue,))
]
for p in processes:
    p.start()
for p in processes:
    p.join()

```

Pentru a inițializa procesele, este creată o coadă pentru comunicarea între acestea. Sunt create patru fire de execuție: unul pentru fiecare funcție de citire a senzorului și unul pentru procesarea datelor colectate. Aceste procese sunt pornite și unite pentru a se asigura că programul principal așteaptă finalizarea lor.

Datele de la fiecare funcție de citire a senzorului sunt plasate în coada partajată, iar funcția *process_data* preia aceste date pentru o manipulare sincronizată și eficientă. Datele sunt stocate într-un dicționar pentru a se asigura că datele de la toți senzorii sunt colectate înainte de procesare, permițând o gestionare coerentă a datelor.

```

def process_data(queue):
    data_dict = {
        'ultrasonic': None,
        'imu_bmp': None,
        'radio': None
    }
    while True:
        try:
            sensor_type, data = queue.get(timeout=0.02)
            data_dict[sensor_type] = data
        except mp.queues.Empty:
            continue
    if all(value is not None for value in data_dict.values()):
        # Process and print the collected data
    ...

```

Prin utilizarea modului de multiprocessing, scriptul citește eficient datele de la mai mulți senzori în paralel, asigurând o procesare a datelor în timp util și sincronizată.

4.6.3. PID

Controlul utilizând PID (Proportional-Integral-Derivative) este un mecanism de feedback utilizat în sistemele de control pentru a atinge și susține un punct de referință dorit. Funcționează prin utilizarea a trei componente principale:

1. Termen proporțional (P): Acest termen generează o ieșire care este direct proporțională cu eroarea curentă. Răspunde imediat la mărimea erorii curente și este controlată de câștigul proporțional (K_p). O valoare K_p mai mare are ca rezultat un răspuns mai pronunțat la erorile curente.

2. Termenul integral (I): Termenul integral integrează eroarea în timp și răspunde erorii acumulate într-o perioadă. Ajută la eliminarea oricărei erori de stare staționară care rămâne după ce termenul proporțional a ajustat ieșirea. Câștigul integral (K_i) determină nivelul de agresivitate cu care controlerul elimină aceste erori acumulate.

3. Termenul derivat (D): Termenul derivat prezice tendințele viitoare de eroare pe baza ratei actuale de modificare a erorii. Atenuază răspunsul pentru a reduce depășirea și oscilațiile. Câștigul derivat (K_d) controlează măsura în care controlerul reacționează la rata de modificare a erorii.

Prin combinarea acestor trei termeni, controlerul PID calculează ieșirea de control. Reglează continuu ieșirea pe baza semnalului de eroare ($error = setpoint - process_variable$) pentru a minimiza eroarea și a stabiliza sistemul în jurul valorii de referință dorite.

Clasa PID este definită pentru a inițializa și actualiza valorile PID. Constructorul (`__init__`) setează câștigurile proporțional (k_p), integral (k_i), și derivat (k_d), precum și punctul de referință ($setpoint$). Variabilele pentru eroarea anterioară și integrala erorii sunt, de asemenea, inițializate.

```
def __init__(self, kp, ki, kd, setpoint=0):
    self.kp = kp
    self.ki = ki
    self.kd = kd
    self.setpoint = setpoint
    self.previous_error = 0
    self.integral = 0
```

Metoda `update` primește valoarea curentă ($current_value$) și intervalul de timp (dt). Calculează eroarea ca diferență între punctul de referință și valoarea curentă, actualizează integralul erorii și derivata, și returnează ieșirea PID ca sumă a termenilor proporțional, integral și derivat.

```
def update(self, current_value, dt):
    error = self.setpoint - current_value
    self.integral += error * dt
    derivative = (error - self.previous_error) / dt
```

```

output = self.kp * error + self.ki * self.integral + self.kd * derivative
self.previous_error = error
return output

```

În funcția *process_data*, PID-ul este inițializat cu valori de câștiguri ($k_p=4$, $k_i=0.01$, $k_d=2$) și punctul de referință este actualizat conform altitudinii de referință (*reference_altitude*). În cadrul buclei de procesare, PID-ul este actualizat cu altitudinea finală (*final_altitude*) și timpul (*Time*), producând o ajustare pentru controlul canalului 3 (*ch3*).

```

# Actualizăm PID-ul cu noul feedback
pid.setpoint = reference_altitude
pid_output = pid.update(final_altitude, Time)

```

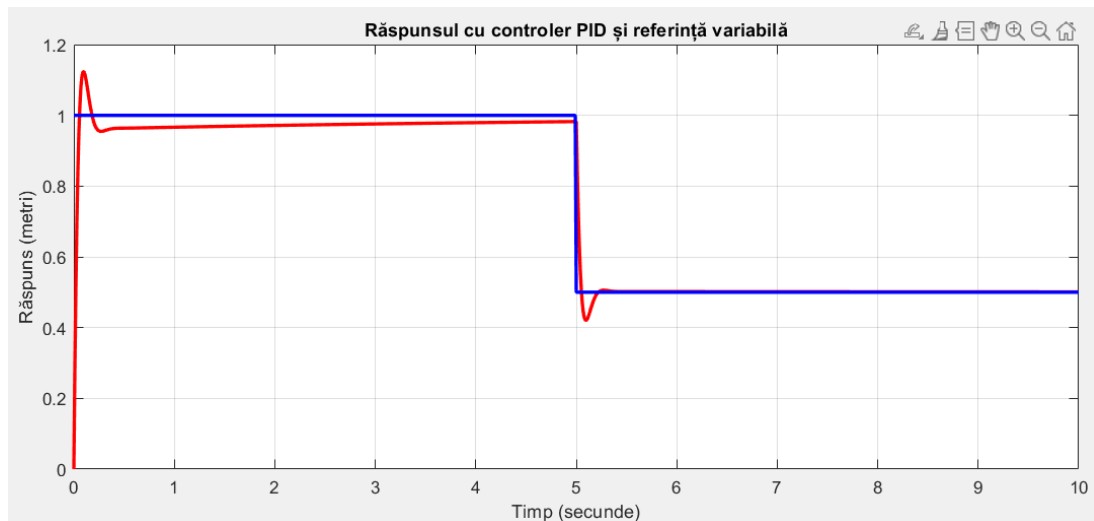


Figura 4.16. Graficul structurii de control PID

În rezumat, controlul PID asigură stabilitatea și acuratețea în controlul altitudinii prin ajustarea dinamică a Canalului 3 pe baza măsurărilor de altitudine în timp real și al altitudinii de referință dorite. Pentru o stabilitate mai bună, se poate efectua tuning-ul parametrilor PID (K_p , K_i , K_d) prin metode cum ar fi metoda Ziegler-Nichols, metoda de răspuns la pas sau prin utilizarea algoritmilor de optimizare. Acest tuning ajută la optimizarea răspunsului sistemului, reducerea timpului de stabilizare, minimizarea depășirii maxime și eliminarea erorilor de regim permanent.

4.6.4. Trimiterea datelor către drona

Clasa *IBUSController* din acest proiect este responsabilă pentru gestionarea conversiei și transmiterii datelor în format IBUS, utilizat în mod obișnuit în aplicațiile de control de la distanță pentru dispozitivele RC. Codul include următoarele componente cheie:

Constructorul clasei `IBUSController` stabilește o conexiune serială folosind modulul serial al lui Python, configurând parametri precum portul și rata de baud. Un LED este de asemenea inițializat pentru a indica starea transmisiei.

Metoda `send_ibus_packet(radio,channels)` transmite un cadru IBUS prin conexiunea serială, cu gestionarea excepțiilor pentru a înregistra orice erori de transmisie.

Gestionarea excepțiilor și curățarea: Dacă programul este întrerupt de o apăsare a tastei sau întâlnește excepții neașteptate, se efectuează înregistrarea corespunzătoare și conexiunea serială este închisă pentru curățare.

CAPITOLUL 5. COSTURI SI FIABILITATE

Când vine vorba de construirea unei drone, două aspecte esențiale care influențează semnificativ succesul proiectului sunt costurile și fiabilitatea componentelor. Alegerea pieselor potrivite nu doar că afectează performanța generală a dronei, dar și determină cât de frecvent vor apărea defecțiuni și necesitatea unor eventuale reparații sau înlocuiri. În analiza de față, ne vom concentra pe costurile și fiabilitatea pieselor alese, comparându-le cu alte variante disponibile pe piață și evaluând impactul unor posibile probleme asupra funcționalității dronei.

Tabelul 5.1. Costurile pieselor dronei alese

Piese	Preț
1 x Cadru dronă din fibră de carbon	138
1 x Cadrul dronei din plastic	134
4 x Motoare fără perii BrotherHobby Avenger 2507 V2 12000kV	500
4 x 40 Amperi Esc pentru motoare fără perii	128
2 x Elici 7 inch (17.78 cm)	54
2 x Baterii 6s 3300mAh	364.81
1 x Sistemul video	468
1 x Sistemul de radiocomandă	355
1 x Speedybee controller	348
1 x Încărcător baterii	268.81
Senzori, Cabluri, Piese	250
TOTAL	3008.62

În construcția unei drone, investiția în piese de calitate superioară joacă un rol crucial în asigurarea fiabilității și durabilității aparatului. Componentele precum motoarele fără perii, cadrul din fibră de carbon, sistemele de control și sistemele video de înaltă calitate sunt proiectate pentru a rezista la condiții de operare variate și solicitări intense. Aceste piese sunt concepute să gestioneze șocuri, vibrații și tensiuni mari care pot apărea în timpul zborului sau în condiții meteorologice dificile.

De exemplu, motoarele fără perii de înaltă performanță sunt construite pentru a oferi o putere mare și o rezistență sporită la uzură, asigurând o funcționare fiabilă în diverse condiții de zbor. Cadrele din fibră de carbon sunt cunoscute pentru rezistența lor excelentă la impact și greutatea redusă, fapt ce contribuie la manevrabilitatea și stabilitatea dronei în aer. Sistemele de control avansate și sistemele video de calitate

superioară sunt esențiale pentru a menține o legătură stabilă și sigură între operator și dronă, minimizând riscul de interferențe și pierderi de semnal.

În contrast, piesele mai ieftine pot să nu ofere aceeași rezistență și performanță, putând să cedeze sub presiunea utilizării intensive sau în condiții neprevăzute. Investiția inițială în piese de calitate superioară poate preveni costurile ulterioare asociate cu înlocuiri frecvente și reparări, asigurând un zbor stabil și sigur pe termen lung.

Astfel, alegerea componentelor care sunt capabile să reziste la solicitări ridicate și să funcționeze fără probleme în diverse condiții reprezintă un aspect esențial în construcția unei drone fiabile și performante.

Pentru construcția acestei drone, au fost selectate componente specifice, fiecare având un rol esențial în funcționarea corectă a aparatului. Se observă o diversitate în prețuri, de la cadrele din fibră de carbon și plastic, până la motoare și sisteme de control sofisticate. De exemplu, cadrul din fibră de carbon costă 138 lei, iar cel din plastic 134 lei. Motoarele BrotherHobby Avenger 2507 V2 12000kV sunt printre cele mai costisitoare piese, cu un preț de 500 lei pentru un set de patru, reflectând calitatea superioară și performanța ridicată.

Există, desigur, variante mai scumpe și mai ieftine pentru fiecare componentă. Variantele mai scumpe, cum ar fi motoarele de înaltă performanță sau sistemele video avansate, oferă de obicei o fiabilitate și o durabilitate superioară, în timp ce variantele mai ieftine pot economisi bani pe termen scurt, dar pot necesita înlocuiri mai frecvente și pot oferi o performanță inferioară.

Piesele selectate pentru această dronă sunt de o calitate bună, echilibrând eficient costul cu performanța. De exemplu, motoarele fără perii BrotherHobby sunt cunoscute pentru eficiența și durabilitatea lor, asigurând o putere ridicată și o întreținere minimă. La fel, sistemul video și cel de radiocomandă, deși costisitoare (468 lei și 355 lei), oferă o gamă extinsă și o transmisie clară, esențiale pentru navigarea și controlul precis al dronei.

În cazul unei probleme la sistemul de radiocomandă, fiabilitatea dronei poate fi serios afectată. Dacă sistemul de radiocomandă nu funcționează corect, controlul dronei poate fi pierdut complet, ducând la o prăbușire. Este crucial să se investească într-un sistem de radiocomandă de înaltă calitate și să se aibă măsuri de siguranță, cum ar fi moduri de failsafe care aduc drona înapoi la punctul de decolare în caz de pierdere a semnalului.

Problemele la sistemul video pot afecta abilitatea operatorului de a vedea în timp real ce filmează drona, ceea ce este esențial pentru aplicații de filmare și navigare precisă. Un sistem video de calitate, deși scump, reduce riscul de interferență și pierdere a semnalului, asigurând o transmisie stabilă și clară.

Problemele la sistemul de alimentare pot fi critice, deoarece bateriile și încărcătoarele de calitate slabă pot duce la întreruperea zborului sau chiar la incendii. Investiția în baterii de înaltă calitate, cum ar fi cele 6s 3300mAh, și încărcătoare fiabile, poate prelungi durata de viață a bateriilor și asigura un zbor sigur și stabil.

Sistemul de control, inclusiv controlerul Speedybee, este vital pentru stabilitatea și manevrabilitatea dronei. Un controler de înaltă calitate asigură integrarea precisă a senzorilor și răspunsuri rapide la comenzi, esențiale pentru un zbor lin și sigur. Problemele în acest sistem pot duce la instabilități în zbor și pierderea controlului, subliniind importanța investiției într-un controler robust și fiabil.

În concluzie, deși piesele de înaltă calitate pentru drone pot avea un cost inițial semnificativ, fiabilitatea, performanța și durabilitatea lor fac ca investiția să merite. Optarea pentru alternative mai ieftine poate economisi bani inițial, dar acestea conduc adesea la cheltuieli mai mari pe termen lung din cauza înlocuirilor frecvente, reparațiilor și potențialelor defecțiuni. În plus, compatibilitatea componentelor este un factor crucial care poate duce la costuri suplimentare. Asigurarea integrării fără întreruperi a tuturor părților poate preveni probleme precum incompatibilitatea și defecțiunile sistemului, care pot fi atât costisitoare, cât și consumatoare de timp de rezolvat. Prin urmare, prioritizarea componentelor de calitate și luarea în considerare a integrării globale a sistemului poate duce în cele din urmă la o dronă mai fiabilă, mai eficientă și mai rentabilă.

Pentru a atinge o durată de zbor de până la 40 de minute în zborurile de curse sau sportive, alegerea corectă a componentelor din lista menționată este esențială. Bateriile LiPo de 6s cu o capacitate mare, precum cele de 3300mAh, oferă suficientă energie pentru zboruri lungi și intense, asigurând o putere constantă și fiabilă. Acestea sunt încărcate și gestionate eficient de un încărcător dedicat, care contribuie la prelungirea duratei de viață a bateriilor și la o performanță stabilă în timpul zborurilor.

În ansamblu, integrarea și optimizarea corectă a acestor piese esențiale din lista de componente selectate sunt fundamentale pentru a asigura o durată de zbor lungă și fiabilă în cadrul competițiilor de drone. Alegerea acestor piese în conformitate cu cerințele specifice ale zborului de curse sau sportiv contribuie la maximizarea performanței și la minimizarea riscurilor în timpul zborurilor intensive și solicitante.

CONCLUZII

În concluzie, acest proiect s-a dovedit a fi extrem de provocator și complex, necesitând o investiție substanțială de timp și efort. Au fost dedicate aproximativ 150 de ore doar pentru a identifica și selecta componentele adecvate pentru dronă, cu toate că acestea nu au prezentat întotdeauna o compatibilitate perfectă. Pe lângă aceasta, au fost necesare aproximativ 200 de ore suplimentare pentru înțelegerea și documentarea tehnologiilor utilizate, protocoalelor de comunicație, filtrelor și metodelor de citire și prelucrare a datelor de la senzori.

Factorul de influență în alegerea acestei teme a fost industria dronelor ce se află într-o continuă dezvoltare atât din punct de vedere economic cât și tehnologică. Deși provocările întâmpinate au fost numeroase, fiecare etapă a proiectului a fost abordată cu entuziasm și curiozitate, transformând dificultățile într-o experiență plăcută și educativă. Procesul de lucru a condus la acumularea unei vaste cunoștințe, care va fi de mare folos pe termen lung, oferind o înțelegere solidă a modului de gestionare a proiectelor ambițioase și menținerea motivației chiar și în fața incertitudinii privind finalizarea la timp a acestora.

Se cuvine să fie felicitate persoanele care au parcurs această lucrare până la final, deoarece efortul și dedicarea lor sunt demne de admirat. Sperăm că această lectură le-a oferit perspective valoroase și inspirație. Din acest punct, sistemul dezvoltat poate fi extins nu doar pentru menținerea altitudinii, ci și pentru controlul autonom complet al dronei, deschizând noi direcții pentru inovație și aplicabilitate practică în diverse domenii. În plus, aceste tehnologii avansate pot contribui la dezvoltarea unor drone capabile de misiuni complexe și precise, demonstrând astfel potențialul imens al acestor dispozitive în viitorul apropiat.

BIBLIOGRAFIE

- [1] <https://www.descopera.ro/istorie/16596686-aceasta-este-prima-drona-din-istorie-imaginile-aeriane-prezinta-dezastrul-produs-de-cutremurul-din-1907-galerie-foto>, 02-06-2024.
- [2] <https://idron.ro/blog/istoria-dronelor-de-la-concept-la-tehnologie-avansata-tipuri-de-drone-motoare-componente-si-evolutie/> 03-06-2024
- [3] <https://surveygyaan.medium.com/sensors-used-in-drones-e6f29be61fb4> 06-06-2024
- [4] <https://www.visionresearchreports.com/drone-data-services-market/40866> 08-06-2024
- [5] <https://oscarliang.com/how-to-build-fpv-drone/#Can-Beginner-Build-FPV-Drones> 4-12-2023
- [6] <https://www.linkedin.com/advice/0/how-do-you-select-materials-components-drone-project-skills-drones> 11-12-2023
- [7] <https://oscarliang.com/flight-controller/#Flight-Controller-What-it-is-and-How-it-Works> 14-06-2024
- [8] <https://www.flyrobo.in/blog/flight-controller> 10-06-2024
- [9] https://hobbymania.com.ua/file/SpeedyBee_F405_V3_Stack.pdf 29-05-2024
- [10] <https://oscarliang.com/motors/#Brushless-vs-Brushed-Motors> 13-06-2024
- [11] <https://rcdrone.top/blogs/articles/how-to-connect-esc-to-motor-a-step-by-step-guide-for-fpv-drones> 10-11-2023
- [12] <https://dronenodes.com/brushless-motor-kv-rating-explained/> 24-04-2024
- [13] <https://www.quora.com/Which-way-does-a-propeller-turn-to-go-forward>
- [14] <https://device.report/manual/9161621> 12-11-2023
- [15] <https://www.sciencedirect.com/topics/engineering/ultrasonic-sensor> 23-02-2024
- [16] <https://howtomechatronics.com/how-it-works/electrical-engineering/mems-accelerometer-gyroscope-magnetometer-arduino/> 04-01-2024
- [17] <https://www.quora.com/In-what-ways-do-magnetic-sensors-work> 06-01-2024
- [18] <https://my.avnet.com/abacus/solutions/technologies/sensors/pressure-sensors/media-types/barometric/> 20-12-2023
- [19] <https://circuitdigest.com/article/everything-you-need-to-know-about-the-flysky-fs-i6-transmitter-and-receiver-for-drone-control> 20-02-2024
- [20] <https://files.banggood.com/2016/09/FS-i6X%20User%20manual.pdf> 26-02-2024
- [21] <https://www.raspberrypi.com/news/raspberry-pi-os-debian-bullseye/> 09-06-2024
- [22] <https://docs.python.org/3/whatsnew/3.12.html> 30-03-2024
- [23] <https://images.app.goo.gl/bs5hABZn5o3EGr4j6> 15-06-2024
- [24] <https://images.app.goo.gl/c2LPfK2a9PTuKFc98> 17-06-2024
- [25] <https://www.mathworks.com/help/matlab/supportpkg/enablei2c.html> 04-04-2024

-
-
- [26] Kalman, R. E. (1960). A New Approach to Linear Filtering and Prediction Problems. Transactions of the ASME--Journal of Basic Engineering, 82(Series D), 35-45.
- [27] Carbon_Aeronautics_Quadcopter_Manual 121-128.
https://github.com/CarbonAeronautics/Manual-Quadcopter-Drone/blob/main/Carbon_Aeronautics_Quadcopter_Manual.pdf 21-10-2023
- [28] Junjia Yang et al. "UAV Altitude Measurement Method Based on Data Fusion and Kalman Filter." *Journal of Physics: Conference Series*, vol. 1631, 2020, doi:10.1088/1742-6596/1631/1/012094.
- [29] <https://www.geeksforgeeks.org/difference-between-multithreading-vs-multiprocessing-in-python/> 13-05-2024

ANEXA 1. SENZORUL BAROMETRIC

```
import smbus2
import time
import math

class BMP280:
    def __init__(self, bus_number=1, device_address=0x76):
        # Inițializează bus-ul I2C și adresa dispozitivului
        self.bus = smbus2.SMBus(bus_number)
        self.device_address = device_address

        # Registrele BMP280
        self.BMP280_REG_DIG_T1 = 0x88
        self.BMP280_REG_DIG_T2 = 0x8A
        self.BMP280_REG_DIG_T3 = 0x8C
        self.BMP280_REG_DIG_P1 = 0x8E
        self.BMP280_REG_DIG_P2 = 0x90
        self.BMP280_REG_DIG_P3 = 0x92
        self.BMP280_REG_DIG_P4 = 0x94
        self.BMP280_REG_DIG_P5 = 0x96
        self.BMP280_REG_DIG_P6 = 0x98
        self.BMP280_REG_DIG_P7 = 0x9A
        self.BMP280_REG_DIG_P8 = 0x9C
        self.BMP280_REG_DIG_P9 = 0x9E
        self.BMP280_REG_CHIPID = 0xD0
        self.BMP280_REG_VERSION = 0xD1
        self.BMP280_REG_SOFTRESET = 0xE0
        self.BMP280_REG_CONTROL = 0xF4
        self.BMP280_REG_CONFIG = 0xF5
        self.BMP280_REG_PRESSUREDATA = 0xF7
        self.BMP280_REG_TEMPDATA = 0xFA

        # Constanta pentru chip ID-ul BMP280
        self.BMP280_CHIPID = 0x58

        # Inițializează datele de calibrare
        self.calibration_data = self.configure_sensor()

    def read_unsigned_short(self, reg):
        """Citește un short fără semn din registrul specificat."""
        data = self.bus.read_i2c_block_data(self.device_address, reg, 2)
        return data[0] + (data[1] << 8)
```

```

def read_signed_short(self, reg):
    """Citește un short cu semn din registrul specificat."""
    data = self.bus.read_i2c_block_data(self.device_address, reg, 2)
    result = data[0] + (data[1] << 8)
    if result > 32767:
        result -= 65536
    return result

def read_calibration_data(self):
    """Citește datele de calibrare de la senzorul BMP280."""
    cal = {}
    cal['dig_T1'] = self.read_unsigned_short(self.BMP280_REG_DIG_T1)
    cal['dig_T2'] = self.read_signed_short(self.BMP280_REG_DIG_T2)
    cal['dig_T3'] = self.read_signed_short(self.BMP280_REG_DIG_T3)
    cal['dig_P1'] = self.read_unsigned_short(self.BMP280_REG_DIG_P1)
    cal['dig_P2'] = self.read_signed_short(self.BMP280_REG_DIG_P2)
    cal['dig_P3'] = self.read_signed_short(self.BMP280_REG_DIG_P3)
    cal['dig_P4'] = self.read_signed_short(self.BMP280_REG_DIG_P4)
    cal['dig_P5'] = self.read_signed_short(self.BMP280_REG_DIG_P5)
    cal['dig_P6'] = self.read_signed_short(self.BMP280_REG_DIG_P6)
    cal['dig_P7'] = self.read_signed_short(self.BMP280_REG_DIG_P7)
    cal['dig_P8'] = self.read_signed_short(self.BMP280_REG_DIG_P8)
    cal['dig_P9'] = self.read_signed_short(self.BMP280_REG_DIG_P9)
    return cal

def write_register(self, reg, value):
    """Scrie un byte în registrul specificat."""
    self.bus.write_byte_data(self.device_address, reg, value)

def configure_sensor(self):
    """Configurează senzorul BMP280 cu filtrul activat."""
    # Resetează senzorul
    self.write_register(self.BMP280_REG_SOFTRESET, 0xB6)
    time.sleep(0.2)

    # Citește și verifică chip ID-ul
    chip_id = self.bus.read_byte_data(self.device_address,
self.BMP280_REG_CHIPID)
    if chip_id != self.BMP280_CHIPID:
        raise RuntimeError('BMP280 chip ID mismatch')

    # Citește datele de calibrare

```

```

        calibration_data = self.read_calibration_data()

        # Configurează registrul de control: mod normal, oversampling x1
        (temperatură și presiune)
        self.write_register(self.BMP280_REG_CONTROL, 0x27)

        # Configurează registrul de config: timp de standby 0.5ms, coeficient de
        filtrare 16 (0x14)
        self.write_register(self.BMP280_REG_CONFIG, 0x14)

    return calibration_data

def read_raw_data(self):
    """Citește datele brute de temperatură și presiune de la senzorul BMP280."""
    data = self.bus.read_i2c_block_data(self.device_address,
self.BMP280_REG_PRESSUREDATA, 6)
    raw_temp = (data[3] << 12) | (data[4] << 4) | (data[5] >> 4)
    raw_press = (data[0] << 12) | (data[1] << 4) | (data[2] >> 4)
    return raw_temp, raw_press

def compensate_temperature(self, raw_temp):
    """Compensează temperatura brută folosind datele de calibrare."""
    cal = self.calibration_data
    var1 = (raw_temp / 16384.0 - cal['dig_T1'] / 1024.0) * cal['dig_T2']
    var2 = ((raw_temp / 131072.0 - cal['dig_T1'] / 8192.0) ** 2) * cal['dig_T3']
    t_fine = var1 + var2
    temp = var1 + var2
    return t_fine, temp / 5120.0

def compensate_pressure(self, raw_press, t_fine):
    """Compensează presiunea brută folosind datele de calibrare."""
    cal = self.calibration_data
    var1 = (t_fine / 2.0) - 64000.0
    var2 = var1 * var1 * cal['dig_P6'] / 32768.0
    var2 = var2 + var1 * cal['dig_P5'] * 2.0
    var2 = (var2 / 4.0) + (cal['dig_P4'] * 65536.0)
    var1 = (cal['dig_P3'] * var1 * var1 / 524288.0 + cal['dig_P2'] * var1) /
524288.0
    var1 = (1.0 + var1 / 32768.0) * cal['dig_P1']
    if var1 == 0:
        return 0 # evită împărțirea la zero
    pressure = 1048576.0 - raw_press
    pressure = (pressure - (var2 / 4096.0)) * 6250.0 / var1

```

```

var1 = cal['dig_P9'] * pressure * pressure / 2147483648.0
var2 = pressure * cal['dig_P8'] / 32768.0
pressure = pressure + (var1 + var2 + cal['dig_P7']) / 16.0
return pressure / 100

def calculate_altitude(self, pressure, sea_level_pressure=1013.25):
    """Calculează altitudinea folosind presiunea atmosferică."""
    return 44330.0 * (1.0 - (pressure / sea_level_pressure) ** 0.1903)

def read_sensor_data(self):
    """Citește și compensează datele de temperatură, presiune și altitudine."""
    raw_temp, raw_press = self.read_raw_data()
    t_fine, temperature = self.compensate_temperature(raw_temp)
    pressure = self.compensate_pressure(raw_press, t_fine)
    altitude = self.calculate_altitude(pressure)
    return temperature, pressure, altitude

class BMP280Calibrator:
    def __init__(self, bmp280):
        # Inițializează obiectul BMP280
        self.bmp280 = bmp280

    def calculate_altitude_offset(self):
        """Calculează offset-ul altitudinii."""
        readings = []
        print("Calibrating BMP280, please wait 13 seconds.")
        for _ in range(100):
            _, _, altitude = self.bmp280.read_sensor_data()
            readings.append(altitude)
            time.sleep(0.2)
        # Exclude primele 2 citiri
        return sum(readings[2:]) / len(readings[2:])

# Exemplu de utilizare
if __name__ == "__main__":
    bmp280 = BMP280()
    calibrator = BMP280Calibrator(bmp280)
    baseline_altitude = calibrator.calculate_altitude_offset()
    print(f"Baseline Altitude: {baseline_altitude:.2f} m")

    try:
        while True:
            temperature, pressure, altitude = bmp280.read_sensor_data()

```

```
        adjusted_altitude = altitude - baseline_altitude
        print(f"Temperature: {temperature:.2f} °C, Pressure: {pressure:.2f} hPa,
Altitude: {adjusted_altitude:.2f} m")
        time.sleep(0.2) # Ajustare la intervalul de timp corect
except KeyboardInterrupt:
    print("Isire...")
```

ANEXA 2. SENZORUL ULTRASONIC

```
import RPi.GPIO as GPIO
import time
import statistics

class UltrasonicSensor:
    def __init__(self, trigger_pin, echo_pin):
        # Initializează pinii GPIO pentru senzorul ultrasonic
        self.GPIO_TRIGGER = trigger_pin
        self.GPIO_ECHO = echo_pin

        # Configurează pinii GPIO
        GPIO.setmode(GPIO.BCM)
        GPIO.setup(self.GPIO_TRIGGER, GPIO.OUT)
        GPIO.setwarnings(False)
        GPIO.setup(self.GPIO_ECHO, GPIO.IN)
        GPIO.output(self.GPIO_TRIGGER, False)
        time.sleep(2) # Permite senzorului să se stabilizeze

    def read_distance(self):
        try:
            speedSound = 34300 # Viteza sunetului în cm/s la temperatura camerei

            # Activează senzorul
            GPIO.output(self.GPIO_TRIGGER, True)
            time.sleep(0.00001)
            GPIO.output(self.GPIO_TRIGGER, False)

            start = time.time()
            stop = time.time()

            # Așteaptă începutul ecoului
            while GPIO.input(self.GPIO_ECHO) == 0:
                start = time.time()
                if time.time() - start > 0.03: # Timeout pentru a preveni bucla infinită
                    raise RuntimeError("Timeout la citirea senzorului ultrasonic (start)")

            # Așteaptă sfârșitul ecoului
            while GPIO.input(self.GPIO_ECHO) == 1:
                stop = time.time()
                if time.time() - start > 0.03: # Timeout pentru a preveni bucla infinită
                    raise RuntimeError("Timeout la citirea senzorului ultrasonic (stop)")
```

```
        elapsed = stop - start
        distance = (elapsed * speedSound) / 2 # Împarte la 2 pentru a ține cont de
călătoria de întoarcere
        return distance

    except RuntimeError as e:
        print(e)
        return None # Returnează None în caz de eroare

def read(self, num_samples=3):
    distances = []

    for _ in range(num_samples):
        distance = self.read_distance()
        if distance is not None:
            distances.append(distance)
        time.sleep(0.02) # Scurtă întârziere între mostre

    if len(distances) == 0:
        return None

    median_distance = statistics.median(distances)

    # Filtrează citirile care sunt prea departe de mediană
    filtered_distances = [d for d in distances if abs(d - median_distance) <
median_distance * 0.1]

    if len(filtered_distances) == 0:
        return None

    average_distance = sum(filtered_distances) / len(filtered_distances)
    return average_distance

def cleanup(self):
    # Curăță configurările GPIO
    GPIO.cleanup()

# Exemplu de utilizare dacă acest script este rulat direct
if __name__ == "__main__":
    try:
        sensor = UltrasonicSensor(trigger_pin=4, echo_pin=17)
        while True:
```

```
distance = sensor.read()
if distance is not None:
    print("Distance:", distance, "cm")
else:
    print("Failed to read distance")
time.sleep(0.2) # Reduce întârzierea între citiri la 0.2 secunde
except KeyboardInterrupt:
    sensor.cleanup()
```

ANEXA 3. IMU

```
import smbus
import math
import time
import numpy as np

class MPU6050:
    def __init__(self, bus_number=1, device_address=0x68):
        self.bus = smbus.SMBus(bus_number)
        self.Device_Address = device_address
        self.ACCEL_SCALE_FACTOR = 16384.0
        self.GYRO_SCALE_FACTOR = 131.0
        self.Axoffset = 0.00498
        self.Ayoffset = 0.03055
        self.Azoffset = 0.0029
        self.Gx_offset = -0.19
        self.Gy_offset = -0.09
        self.Gz_offset = 0.15

        # Inițializarea matricilor și vectorilor pentru filtrul Kalman
        self.P_pitch = np.array([[0, 0], [0, 0]], dtype=float)
        self.K_pitch = np.array([0, 0], dtype=float)
        self.P_roll = np.array([[0, 0], [0, 0]], dtype=float)
        self.K_roll = np.array([0, 0], dtype=float)

        # Parametrii pentru filtrul Kalman
        self.Q_unghi_pitch = 0.001
        self.Q_gyro_pitch = 0.003
        self.R_unghi_pitch = 0.03
        self.Q_unghi_roll = 0.001
        self.Q_gyro_roll = 0.003
        self.R_unghi_roll = 0.03
        self.dt = 0.0065

        # Inițializează senzorul MPU6050
        self.MPU_Init()

    def MPU_Init(self):
        # Configurarea inițială a senzorului MPU6050
        self.bus.write_byte_data(self.Device_Address, 0x6B, 1) # Scoate MPU6050 din
        modul de așteptare
```

```

        self.bus.write_byte_data(self.Device_Address, 0x1A, 0) # Setează banda de
trecere a filtrelor DLPF
        self.bus.write_byte_data(self.Device_Address, 0x1B, 24) # Setează scala
giroscopului la  $\pm 2000^\circ/\text{s}$ 
        self.bus.write_byte_data(self.Device_Address, 0x38, 1) # Activează
întreruperile de date
        self.bus.write_byte_data(self.Device_Address, 26, 5) # Setează frecvența de
eșantionare

```

```

def read_raw_data(self, addr):

```

```

    # Citește datele brute de la adresa specificată
    high = self.bus.read_byte_data(self.Device_Address, addr)
    low = self.bus.read_byte_data(self.Device_Address, addr + 1)
    value = ((high << 8) | low)
    if value > 32768:
        value -= 65536
    return value

```

```

def kalman_filter(self, unghi, P, K, Q_unghi, Q_gyro, R_unghi, rata_gyro):

```

```

    # Aplică filtrul Kalman pentru estimarea unghiului
    unghi += self.dt * rata_gyro
    P[0][0] += self.dt * (self.dt * P[1][1] - P[0][1] - P[1][0] + Q_unghi)
    P[0][1] -= self.dt * P[1][1]
    P[1][0] -= self.dt * P[1][1]
    P[1][1] += Q_gyro * self.dt
    y = unghi - unghi
    S = P[0][0] + R_unghi
    K[0] = P[0][0] / S
    K[1] = P[1][0] / S
    unghi += K[0] * y
    rata_gyro -= unghi
    unghi += K[1] * rata_gyro
    P00_temp = P[0][0]
    P01_temp = P[0][1]
    P[0][0] -= K[0] * P00_temp
    P[0][1] -= K[0] * P01_temp
    P[1][0] -= K[1] * P00_temp
    P[1][1] -= K[1] * P01_temp
    return unghi

```

```

def get_pitch_roll(self):

```

```

    # Citește valorile brute de la accelerometru și giroscop
    acc_x = (self.read_raw_data(0x3B) / self.ACCEL_SCALE_FACTOR) - self.Axoffset

```

```

        acc_y = (self.read_raw_data(0x3D) / self.ACCEL_SCALE_FACTOR) -
self.Ayoffset
        acc_z = (self.read_raw_data(0x3F) / self.ACCEL_SCALE_FACTOR) - self.Azoffset
        gyro_x = (self.read_raw_data(0x43) / self.GYRO_SCALE_FACTOR) -
self.Gx_offset
        gyro_y = (self.read_raw_data(0x45) / self.GYRO_SCALE_FACTOR) -
self.Gy_offset
        gyro_z = (self.read_raw_data(0x47) / self.GYRO_SCALE_FACTOR) -
self.Gz_offset
        # Calculează unghiurile de înclinare folosind datele accelerometrului
        pitch = math.degrees(math.atan2(acc_y, math.sqrt(acc_x ** 2 + acc_z ** 2)))
        roll = math.degrees(math.atan2(-acc_x, math.sqrt(acc_y ** 2 + acc_z ** 2)))
        # Aplică filtrul Kalman pentru a obține unghiurile precise
        unghi_pitch = self.kalman_filter(pitch, self.P_pitch, self.K_pitch,
self.Q_unghi_pitch, self.Q_gyro_pitch, self.R_unghi_pitch, gyro_x)
        unghi_roll = self.kalman_filter(roll, self.P_roll, self.K_roll, self.Q_unghi_roll,
self.Q_gyro_roll, self.R_unghi_roll, gyro_y)

    return unghi_pitch, unghi_roll, acc_x, acc_y, acc_z

def vertical_velocity(self, Pitch, Roll, Ax, Ay, Az, ZVelocity, Time):
    # Calculează viteza verticală folosind unghiurile de înclinare și accelerațiile
    AccZInertial = -Ax * math.sin(Pitch * math.pi / 180) + Ay * math.cos(Pitch *
math.pi / 180) * math.sin(Roll * math.pi / 180) + Az * math.cos(Pitch * math.pi / 180) *
math.cos(Roll * math.pi / 180)
    AccZInertial = (AccZInertial - 1) * 9.81 * 10
    ZVelocity = ZVelocity + AccZInertial * Time
    return ZVelocity

# Exemplu de utilizare dacă acest script este rulat direct
if __name__ == "__main__":
    mpu = MPU6050()
    z_velocity = 0
    try:
        while True:
            pitch, roll, acc_x, acc_y, acc_z = mpu.get_pitch_roll()
            z_velocity = mpu.vertical_velocity(pitch, roll, acc_x, acc_y, acc_z, z_velocity,
mpu.dt)
            print(f"MPU6050 - Pitch: {pitch:.2f}, Roll: {roll:.2f}, Z Velocity:
{z_velocity:.2f}")
            time.sleep(0.2) # Ajustează intervalul de timp între citiri
    except KeyboardInterrupt:
        print("Iesire...")

```

ANEXA 4. PROTOCOLUL IBUS

```
import serial
import time
import logging

# Configurare logging
logging.basicConfig(level=logging.DEBUG, format='%(asctime)s - %(levelname)s -
%(message)s')

class RadioController:
    def __init__(self, serial_port="/dev/serial0", baudrate=115200):
        self.ser = serial.Serial(serial_port, baudrate)
        self.ser.parity = serial.PARITY_NONE
        self.ser.stopbits = serial.STOPBITS_ONE
        self.Reference_altitude = 0
        self.ch1, self.ch2, self.ch3, self.ch4, self.ch5, self.ch6 = 0, 0, 0, 0, 0, 0

    def read_data(self):
        try:
            frame = bytearray()
            while self.ser.in_waiting > 0:
                received_data = self.ser.read()
                frame.extend(received_data)

            if len(frame) >= 32 and frame[0] == 32:
                self.ch1, self.ch2, self.ch3, self.ch4, self.ch5, self.ch6 =
self._process_frame(frame)

                self._update_reference_altitude()

        except Exception as e:
            logging.error(f"Error in read_data: {e}")

    def _process_frame(self, frame):
        ch1 = int.from_bytes(frame[2:4], byteorder='little')
        ch2 = int.from_bytes(frame[4:6], byteorder='little')
        ch3 = int.from_bytes(frame[6:8], byteorder='little')
        ch4 = int.from_bytes(frame[8:10], byteorder='little')
        ch5 = int.from_bytes(frame[10:12], byteorder='little')
        ch6 = int.from_bytes(frame[12:14], byteorder='little')
        ch3 = (ch3 - 1000) / 10 # Ajustează ch3 conform aplicației
```

```

    return ch1, ch2, ch3, ch4, ch5, ch6

def _update_reference_altitude(self):
    if self.ch3 < 10:
        self.Reference_altitude = max(0, self.Reference_altitude - 5)
    elif 10 < self.ch3 < 20:
        self.Reference_altitude = max(0, self.Reference_altitude - 0.5)
    elif 20 < self.ch3 < 40:
        self.Reference_altitude = max(0, self.Reference_altitude - 0.05)
    elif 60 < self.ch3 < 80:
        self.Reference_altitude += 0.05
    elif 80 < self.ch3 < 90:
        self.Reference_altitude += 0.5
    elif self.ch3 >= 90:
        self.Reference_altitude += 5

def get_reference_altitude(self):
    return self.Reference_altitude

def get_channels_data(self):
    return self.ch1, self.ch2, self.ch3, self.ch4, self.ch5, self.ch6

def cleanup(self):
    self.ser.close()

if __name__ == "__main__":
    try:
        radio = RadioController()
        while True:
            radio.read_data()
            reference_altitude = radio.get_reference_altitude()
            ch1, ch2, ch3, ch4, ch5, ch6 = radio.get_channels_data()
            logging.debug(f"Channels: ch1={ch1}, ch2={ch2}, ch3={ch3}, ch4={ch4},
ch5={ch5}, ch6={ch6}")
            logging.debug(f"Reference Altitude: {reference_altitude}")
            time.sleep(0) # Pauză mică pentru a nu supraîncărca procesorul
    except KeyboardInterrupt:
        radio.cleanup()
        logging.info("Exiting...")
    except Exception as e:
        logging.error(f"Unhandled exception: {e}")

    radio.cleanup()

```

ANEXA 5. PROGRAMUL PRINCIPAL

```
import multiprocessing as mp
import time
import struct
from gpiozero import DistanceSensor
from MPU6050 import MPU6050
from BMP280 import BMP280, BMP280Calibrator
from I2C import RadioController
from Ultrasonic import UltrasonicSensor
from simple_pid import PID

def read_ultrasonic(queue):
    sensor = UltrasonicSensor(trigger_pin=4, echo_pin=17)
    while True:
        distance = sensor.read()
        queue.put(('ultrasonic', distance))
        time.sleep(0.02) # Reducerea întârzierii pentru citiri mai rapide

def read_imu_and_bmp(queue):
    mpu = MPU6050()
    bmp280 = BMP280()
    calibrator = BMP280Calibrator(bmp280)
    baseline_altitude = calibrator.calculate_altitude_offset()
    z_velocity = 0
    while True:
        pitch, roll, acc_x, acc_y, acc_z = mpu.get_pitch_roll()
        z_velocity = mpu.vertical_velocity(pitch, roll, acc_x, acc_y, acc_z, z_velocity,
mpu.dt)
        temperature, pressure, altitude = bmp280.read_sensor_data()
        altitude -= baseline_altitude
        altitude = max(altitude, 0)
        queue.put(('imu_bmp', (pitch, roll, z_velocity, altitude)))
        time.sleep(0.02) # Reducerea întârzierii pentru citiri mai rapide

def read_radio(queue):
    radio = RadioController()
    while True:
        radio.read_data()
        reference_altitude = radio.get_reference_altitude()
        ch1, ch2, ch3, ch4, ch5, ch6 = radio.get_channels_data()
        queue.put(('radio', (ch1, ch2, ch3, ch4, ch5, ch6)))
        time.sleep(0.02) # Reducerea întârzierii pentru citiri mai rapide
```

```

def send_ibus_packet(radio, channels):
    # Structura pachetului IBUS
    header = b'\x20\x40'
    channel_data = struct.pack('<14H', *channels)
    checksum = struct.pack('<H', 0xFFFF - (sum(channel_data) & 0xFFFF))

    packet = header + channel_data + checksum
    radio.send_packet(packet)

def process_data(queue):
    LastTime = time.time()
    data_dict = {
        'ultrasonic': None,
        'imu_bmp': None,
        'radio': None
    }

    # Inițializarea controlerului PID
    pid = PID(1.0, 0.1, 0.05, setpoint=0) # Câștigurile PID trebuie ajustate
    pid.output_limits = (0, 100) # Ieșirea trebuie să fie între 0 și 100

    # Inițializarea RadioController pentru comunicarea iBus
    radio = RadioController()

    while True:
        dateDateTimeNow = time.time()
        Time = dateDateTimeNow - LastTime

        try:
            sensor_type, data = queue.get(timeout=0.02) # Get non-blocant cu timeout
            data_dict[sensor_type] = data
        except mp.queues.Empty:
            continue

        if all(value is not None for value in data_dict.values()):
            distance = data_dict['ultrasonic']
            pitch, roll, z_velocity, altitude = data_dict['imu_bmp']
            reference_altitude, ch1, ch2, ch3, ch4, ch5, ch6 = data_dict['radio']

            # Calcularea erorii între altitudinea curentă și altitudinea de referință
            altitude_error = reference_altitude - altitude

```

```

# Folosirea controlerului PID pentru a calcula ajustarea pentru canalul 3
ch3_adjustment = pid(altitude_error)

# Actualizarea canalului 3 în intervalul 0-100
ch3 = max(0, min(100, ch3_adjustment))

# Crearea listei de canale, completând canalele neutilizate cu valori implicite
channels = [ch1, ch2, int(ch3), ch4, ch5, ch6] + [1500] * 8

# Trimiterea valorilor actualizate ale canalelor prin iBus
send_ibus_packet(radio, channels)

# Afișarea valorilor actualizate ale canalelor
print(f"Channels: ch1={ch1}, ch2={ch2}, ch3={ch3}, ch4={ch4}, ch5={ch5},
ch6={ch6}")
print(f"Reference Altitude: {reference_altitude}, Current Altitude: {altitude},
Altitude Error: {altitude_error}")

LastTime = datetime.datetime.now()

if __name__ == "__main__":
    queue = mp.Queue()

    processes = [
        mp.Process(target=read_ultrasonic, args=(queue,)),
        mp.Process(target=read_imu_and_bmp, args=(queue,)),
        mp.Process(target=read_radio, args=(queue,)),
        mp.Process(target=process_data, args=(queue,))
    ]

    for p in processes:
        p.start()

    for p in processes:
        p.join()

```